

DAVIDE PISANÒ - ANTONIO SERVETTI

AUDIO  
FINGERPRINTING  
IN WEBASSEMBLY  
PER L'ESECUZIONE  
IN BROWSER WEB

*I wanted to make noise, not study theory.*  
James Hetfield

# Indice

1	<i>Introduzione</i>	5
1.1	<i>Architettura generale</i>	8
1.1.1	<i>Scomposizione dell'architettura</i>	9
1.2	<i>Organizzazione del codice</i>	10
2	<i>La libreria fin</i>	13
2.1	<i>La classe Reader e le sue sottoclassi</i>	14
2.2	<i>Lo spettrogramma</i>	14
2.2.1	<i>La finestratura</i>	14
2.2.2	<i>La DFT</i>	17
2.2.3	<i>Il modulo dello spettrogramma e le <code>fftWindows</code></i>	20
2.3	<i>I Peaks</i>	20
2.3.1	<i>Scelta della dimensione delle bande</i>	21
2.3.2	<i>Scelta di C</i>	23
2.4	<i>I Links</i>	23
3	<i>La libreria fin_db</i>	27
3.1	<i>L'inserimento di un brano</i>	27
3.2	<i>L'identificazione di un brano</i>	28
3.2.1	<i>Il metodo <code>db.searchSongGivenLinks</code></i>	30
3.2.2	<i>Il numero di Link comuni</i>	31
4	<i>L'eseguibile server_entry</i>	33
5	<i>L'eseguibile server_rest</i>	35
5.1	<i>Il problema del CORS</i>	35
5.2	<i>La serializzazione dei Links</i>	36

6	<i>L'eseguibile mock_client</i>	39
7	<i>L'eseguibile wasm_client</i>	41
7.1	<i>L'entry point</i>	41
7.2	<i>La callback audioWorkletProcessorCreated</i>	41
7.3	<i>La funzione processAudio</i>	42
7.4	<i>La callback messageReceivedOnMainThread</i>	43
7.5	<i>La durata del segmento audio</i>	43
7.6	<i>Ulteriori problemi col CORS</i>	45
8	<i>L'eseguibile lyrics</i>	47
8.1	<i>Il server REST lyrics</i>	47
8.2	<i>La funzione processAudio</i>	48
8.3	<i>La funzione getElapsedTimeSinceFirstSample</i>	49
8.3.1	<i>L'utilizzo del clock corretto</i>	49
8.4	<i>La callback messageReceivedOnMainThread</i>	50
9	<i>Confronto con OLAF</i>	51
10	<i>Utilizzi futuri</i>	55
10.1	<i>Sincronizzazione di contenuti provenienti da sorgenti differenti</i>	55
10.2	<i>Personalizzazione dei segmenti pubblicitari</i>	57
11	<i>Conclusioni</i>	61
12	<i>Ringraziamenti</i>	63
13	<i>Bibliografia</i>	65

# 1

## Introduzione

Negli ultimi anni si è notato un trend sempre crescente nell'utilizzo di JavaScript per la creazione di applicazioni desktop<sup>1</sup>.

Ci sono diversi fattori che hanno contribuito alla popolarità di JavaScript, primo fra tutti è che rappresenta il linguaggio standard, de facto, per l'implementazione di funzionalità dinamiche su pagine web. Nello specifico, JavaScript è l'unico linguaggio di scripting supportato nativamente da tutti i browser web moderni<sup>2</sup>.

Ci sono stati dei tentativi per introdurre alcune novità in questo ambito, seguendo principalmente due approcci:

1. l'inclusione di una nuova macchina virtuale all'interno di un browser web che supportasse un nuovo linguaggio
2. la realizzazione di un nuovo linguaggio ma eseguito sulla stessa macchina virtuale JavaScript già presente in un web browser

Ricade nella prima categoria VBScript di Microsoft, basato su Visual Basic, introdotto a metà degli anni '90, oggi non più supportato da alcun browser moderno.

Nella seconda categoria possiamo annoverare, più recentemente, TypeScript<sup>3</sup> (sempre di Microsoft), CoffeeScript e Dart (di Google). Questi linguaggi sono basati su un cosiddetto *transpiler*<sup>4</sup>, ovvero un compilatore che prende in input il codice sorgente scritto ad esempio in TypeScript e lo converte in codice JavaScript, mantenendo le stesse funzionalità del codice originale.

Un altro punto di forza di JavaScript è la sua facilità di apprendimento<sup>5</sup>, soprattutto rispetto ad altri linguaggi di programmazione più a basso livello come C o C++, permettendo agli sviluppatori di iniziare a scrivere codice più rapidamente, senza dover investire troppo tempo nell'apprendimento di una nuova tecnologia. Oggi, infatti, si assiste ad una quantità sempre crescente di librerie e framework per JavaScript, atti a semplificare lo sviluppo di applicazioni web complesse e a migliorarne la qualità; giusto per citarne alcuni: React, Angular, Vue.js, ma anche il più *anziano* jQuery.

Per questi ed altri motivi, durante la fine degli anni 2000, si è iniziato a porre una domanda: "è possibile eseguire codice JavaScript al di fuori del contesto web browser?". La risposta (affermativa) a questa domanda è stata la nascita di Node.js<sup>6</sup> che ha dato il via al

<sup>1</sup> Guillermo Rauch. *Smashing node. js: Javascript everywhere*. John Wiley & Sons, 2012

<sup>2</sup> Charles Severance. Javascript: Designing a language in 10 days. *Computer*, 45(2):7–8, 2012

<sup>3</sup> Dan Maharry. *TypeScript revealed*. Apress, 2013

<sup>4</sup> Thiago Nicolini, Andre Hora, and Eduardo Figueiredo. On the usage of new javascript features through transpilers: The babel case. *IEEE Software*, pages 1–3, 2023

<sup>5</sup> Sabah A Abdulkareem and Ali J Abboud. Evaluating python, c++, javascript and java programming languages based on software complexity calculator (halstead metrics). In *IOP Conference Series: Materials Science and Engineering*, volume 1076. IOP Publishing, 2021

<sup>6</sup> Guillermo Rauch. *Smashing node. js: Javascript everywhere*. John Wiley & Sons, 2012

paradigma del *JavaScript everywhere*<sup>7</sup>. Questo vuol dire, in estrema sintesi, poter utilizzare lo stesso linguaggio per creare applicazioni web, sia lato front-end sia lato back-end. In teoria si potrebbe così ridurre il tempo necessario per il processo di sviluppo di un'applicazione, riducendo il portfolio di tecnologie che un programmatore deve conoscere.

Nei primi anni 2010, quando Node.js iniziava a prendere piede, ci si è posti un'altra domanda: "è possibile scrivere e distribuire applicazioni desktop/mobile scritte in JavaScript?". La risposta, ancora una volta, è stata affermativa. Nasce Electron<sup>8</sup>: un framework open-source che consente agli sviluppatori di creare applicazioni desktop multi-piattaforma, utilizzando tecnologie web standard come HTML, CSS e JavaScript. Dal lato mobile nascono tecnologie analoghe a Electron come Ionic, React Native e PhoneGap, tutte con obiettivi abbastanza simili. Man mano, l'ecosistema JavaScript, ha iniziato a diventare quello che Java era nei primi anni 2000<sup>9</sup> per la scrittura di applicazioni desktop consumer multipiattaforma.

Il motivo principale della popolarità di questo ecosistema basato su JavaScript, è la possibilità di utilizzare un'unica codebase (in JavaScript) che può essere eseguita su piattaforme molto diverse tra loro, problematica che è molto sentita nell'ambito mobile dove si hanno due piattaforme completamente diverse: Android e iOS<sup>10</sup>.

Il trend di scrivere applicazioni in JavaScript è stato amplificato dalla crescente importanza del web come piattaforma per la distribuzione di applicazioni software. Software utilizzati quotidianamente da miliardi di utenti sono basati sul web e, per forza di cose, devono essere scritti in JavaScript.

Da qui la nascita delle cosiddette *Rich Internet Applications* (RIA)<sup>11</sup>, ovvero applicazioni web che offrono un'esperienza utente interattiva e avanzata simile a quella di un'applicazione desktop tradizionale. Le RIA sono caratterizzate da una vasta gamma di funzionalità e interattività che le distinguono dalle semplici pagine web statiche. Oltre alla classica triade HTML + CSS + JavaScript, le RIA possono fare uso di tecnologie più avanzate e recenti come WebSockets, WebAudio, WebAssembly, WebRTC, WebVR, WebGPU, Web Animations API. In sostanza il browser diventa un'interfaccia o un'astrazione della macchina sottostante, alla quale si può accedere utilizzando JavaScript.

Nello specifico WebAudio<sup>12</sup> è un'API JavaScript avanzata, che consente di manipolare e generare audio all'interno del browser. È stata progettata per consentire agli sviluppatori di creare RIA che includono funzionalità audio, come la registrazione, la riproduzione e l'elaborazione di suoni. L'API è basata su un'architettura a nodi, dove ognuno di essi rappresenta una singola operazione di elaborazione del suono. I nodi possono essere collegati tra loro per creare una catena di elaborazione, in cui il suono viene elaborato in successione da ogni nodo che attraversa. La manipolazione del suono avviene in real time. WebAudio è oggi supportato su tutti i browser recenti basati sugli engine JavaScript V8 e SpiderMonkey.

<sup>7</sup> Del quale non mancano i detrattori

<sup>8</sup> Adam D Scott. *JavaScript everywhere: building cross-platform applications with GraphQL, React, React Native, and Electron*. O'Reilly Media, 2020

<sup>9</sup> Pankaj Kamthan. Java applets in education. *Electronic Resource* Retrieved on May, 17, 1999

<sup>10</sup> All'epoca della prima apparizione di queste tecnologie bisognava supportare anche Windows Phone

<sup>11</sup> Piero Fraternali, Gustavo Rossi, and Fernando Sánchez-Figueroa. Rich internet applications. *IEEE Internet Computing*, 14(3):9–12, 2010

<sup>12</sup> Hongchan Choi. Audioworklet: the future of web audio. In *ICMC*, 2018

La necessità di scrivere applicazioni real time, ha portato la necessità di dover eseguire codice ad alta efficienza, obiettivo non realizzabile completamente con un linguaggio interpretato quale JavaScript. Alla fine degli anni 2010 nasce quindi *WebAssembly*<sup>13</sup> (Wasm): un formato di codice binario portabile che consente di eseguire codice di basso livello all'interno del browser web. È stato progettato per essere compatibile con i linguaggi di programmazione come C, C++ e Rust. In pratica, quindi, Wasm permette di creare applicazioni web che eseguono codice più velocemente e con maggiore efficienza rispetto a soluzioni basate su JavaScript. Wasm è stato pensato per essere altamente interoperabile con JavaScript: codice JavaScript può richiamare codice Wasm e viceversa, creando quindi soluzioni ibride che combinano il meglio di entrambi i mondi.

Sfruttando tutte queste tecnologie e un ecosistema ormai maturo, l'obiettivo di questa tesi è quello di discutere la realizzazione di un sistema per l'identificazione di audio: un utente sottopone uno spezzone di un brano audio di pochi secondi al sistema, il quale lo riconosce e può mostrare all'utente informazioni ad esso correlate. L'intento, inoltre, è quello di eseguire l'algoritmo di identificazione su dispositivi eterogenei all'interno di un web browser, utilizzando Wasm e WebAudio. Questo presenta numerosi vantaggi, tra i più importanti si possono individuare:

- l'evitare all'utente il download di un'app addizionale, potendo sfruttare le funzionalità dell'algoritmo di riconoscimento direttamente dal suo web browser
- la notevole riduzione del carico lato server: grazie alla sua architettura distribuita, parte della complessità viene spostata sul dispositivo dell'utente finale, il quale porta a termine buona parte del processo di identificazione, rendendo possibile un'identificazione più veloce ed efficiente rispetto ad altre applicazioni simili

In definitiva, si renderà l'esperienza dell'utente ancora più piacevole e soddisfacente, mantenendo le stesse funzionalità e caratteristiche di una classica app eseguita nativamente su un dispositivo dell'utente.

Verrà discussa anche la realizzazione di una *second-screen application*<sup>14</sup>, ovvero un'applicazione o servizio progettato per essere utilizzato su un dispositivo separato, come smartphone o tablet, mentre si fruisce un altro contenuto su un dispositivo di maggiore importanza, come la televisione o lo schermo di un PC. Queste applicazioni offrono un'esperienza interattiva e complementare al contenuto principale, arricchendo l'interazione dell'utente e fornendo ulteriori informazioni. Se si volesse tracciare l'origine di tali applicazioni, sicuramente la diffusione di tecnologie mobili, quali smartphone e tablet, ha sicuramente ricoperto un ruolo chiave nello sdoganare questo nuovo tipo di interattività.

<sup>13</sup> Andreas Haas, Andreas Rossberg, Derek L. Schuff, Ben L. Titzer, Michael Holman, Dan Gohman, Luke Wagner, Alon Zakai, and JF Bastien. Bringing the web up to speed with webassembly. In *Proceedings of the 38th ACM SIGPLAN Conference on Programming Language Design and Implementation*, pages 185–200, 2017

<sup>14</sup> Michael E Holmes, Sheree Josephson, and Ryan E Carney. Visual attention to television programs with a second-screen application. In *Proceedings of the symposium on eye tracking research and applications*, pages 397–400, 2012

Un esempio pionieristico delle second screen applications è stato il programma televisivo *American Idol* negli Stati Uniti, che ha lanciato un'applicazione interattiva in grado di permettere agli spettatori di votare e interagire con il programma in tempo reale. Da allora, le second screen application sono diventate una parte comune dell'esperienza televisiva e offrono nuove opportunità per coinvolgere il pubblico e creare un'esperienza più interattiva e personalizzata.

Questo documento guiderà il lettore attraverso la realizzazione del sistema di identificazione tra i vari capitoli; saranno esaminate in maniera approfondita le molteplici sfaccettature implementative, corredate da presentazione di dati e grafici, al fine di consentire una comprensione completa delle motivazioni che hanno guidato le scelte dell'autore.

Nei capitoli 2 e 3 verranno trattate le due librerie *fin* e *fin\_db*, che rappresentano le fondamenta del sistema, ovvero l'implementazione dell'algoritmo di estrazione delle features sonore e dell'identificazione dei brani.

Si passerà poi al capitolo 4, nel quale verrà analizzato l'eseguire responsabile di popolare il database con le features dei brani originali.

Il capitolo 5 discuterà la realizzazione di un endpoint REST per effettuare l'identificazione di un segmento audio.

Nel capitolo 6 verrà trattato un eseguibile utilizzato nelle fasi di testing.

La realizzazione della RIA occuperà il capitolo 7.

Nel capitolo 8 verrà trattata la realizzazione di una *second-screen application* per la presentazione, in sincronia con un brano riprodotto, del testo del brano stesso, analizzando come questo tipo di applicazioni possano giovare delle soluzioni discusse in questo documento.

Il capitolo 9 analizzerà le differenze e il funzionamento di un altro algoritmo concorrente open-source.

Infine, nel capitolo 10 verranno analizzati possibili utilizzi futuri del sistema qui presentato.

## 1.1 Architettura generale

L'architettura di base del sistema (in figura 1.1), seppur ispirata al modello client/server, si discosta dalla tradizionale asimmetria tra i due attori, in cui il primo agisce come mero terminale passivo<sup>15</sup>, limitandosi a interagire con l'API esposta dal server. La nuova soluzione adottata, invece, si propone di spostare parte della logica di business dal server al client, in un'ottica distribuita che avvicina la computazione all'utente e alleggerisce, al contempo, il carico sul server, riducendo così i costi correlati. Tale approccio innovativo sfrutta le risorse disponibili sui dispositivi dell'utente, aumentando la scalabilità del sistema e garantendo prestazioni elevate e una

<sup>15</sup> In gergo tecnico è ciò che si definisce *dumb terminal*



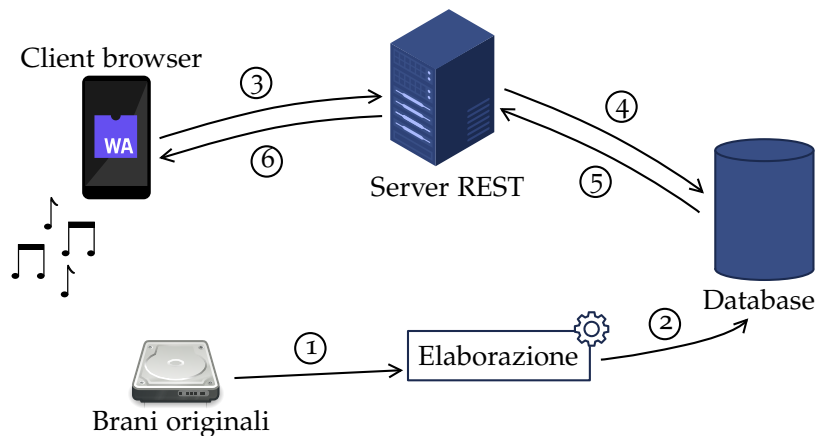


Figura 1.1: Schema architettura generale

maggiore efficienza. Questa soluzione rappresenta un passo avanti nella progettazione di applicazioni web computazionalmente onerose, fornendo un'esperienza utente potenzialmente più fluida e gradevole.

#### 1.1.1 Scomposizione dell'architettura

L'architettura (in figura 1.1) può essere scomposta come segue:

1. Si inizia dai brani originali, la canzone nella sua interezza, salvata su una memoria di massa. La canzone è sottoposta ad un algoritmo di *fingerprinting*, in cui vengono estratte alcune features<sup>16</sup> caratterizzanti.
2. Le features estratte vengono memorizzate all'interno di un database insieme al nome della canzone alla quale appartengono.
3. Si immagina quindi che, ad un certo punto, un client voglia avviare il processo di riconoscimento di un brano: viene registrato uno spezzone audio di pochi secondi e viene innescata la stessa procedura di *fingerprinting* del punto 1 sul client, ma in questo caso le features estratte vengono inviate ad un endpoint REST.
4. Il server REST cerca di individuare delle similarità tra le features già presenti nel database e quelle appena inviategli dal client.
5. Se la ricerca ha successo, il server REST estrae dal database il nome della corrispondenza migliore.
6. Se la ricerca ha successo, il server REST invia al client il nome della corrispondenza migliore.

<sup>16</sup> In seguito queste features prenderanno il nome di *Links*

Si noti, anzitutto, che la parte più intensiva dal punto di vista computazionale è l'estrazione delle features, al contrario la ricerca delle similarità, sebbene impegnativa, non lo è quanto l'estrazione delle features stesse. In altre parole, il momento di maggior carico computazionale si verifica in due fasi:

- *Lato server*: solo nella fase iniziale che porta al popolamento del database, durante l'analisi dei brani originali (ovvero fasi 1 e 2).

- *Lato client*: nell'estrazione delle features della registrazione del brano da riconoscere.

In altre parole, l'operazione più onerosa per il server viene eseguita una sola volta: all'atto del fingerprinting dei brani originali. Sarà poi il client a farsi carico dell'operazione di fingerprinting per l'identificazione del singolo brano.

Il server REST ha una duplice funzione:

- Presentare i dati nel formato corretto sia lato client che lato database, fungendo quindi da una sorta di relay e disaccoppiando la rappresentazione interna dei dati a quella esposta al client.
- Individuare similarità con le features già presenti nel database.

L'intero sistema verrà descritto in modo più dettagliato e rigoroso nei capitoli successivi.

## 1.2 Organizzazione del codice

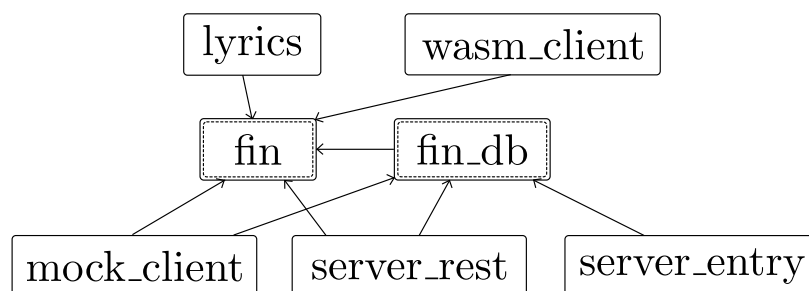


Figura 1.2: Schema organizzazione codice

Il codice sorgente del sistema è suddiviso nei seguenti componenti (figura 1.2):

- La libreria *fin*, deputata all'estrazione delle features (ovvero fare *fingerprinting*) dei brani in esame.
- La libreria *fin\_db* preposta all'interazione con il database, svolgendo i compiti di inserimento e ricerca delle features. Dipende da *fin*.
- L'eseguibile *mock\_client*, riservato esclusivamente ad attività di testing, il quale riceve in input un segmento noto di un brano, al fine di verificare la corretta identificazione del brano stesso. Dipende da entrambe le librerie.
- L'eseguibile *server\_entry*, in grado di elaborare i brani completi per estrarne le features, per poi memorizzarle nel database insieme al nome del brano associato. Dipende da entrambe le librerie.
- L'eseguibile *server\_rest* che espone l'endpoint REST per l'individuazione dei brani: riceve le features del segmento audio estratte dal client, effettua una ricerca di un brano compatibile all'interno del database e, in caso di esito positivo, restituisce al client il nome del brano individuato. Dipende da entrambe le librerie.

- L'eseguibile<sup>17</sup> *wasm\_client*, ovvero il client, in grado di acquisire il segmento audio tramite microfono del client, estraendone le features per poi inviarle a *server\_rest*.
- L'eseguibile<sup>18</sup> *lyrics*, costruito sulla base di *wasm\_client*, aggiunge la possibilità di visualizzare il testo sincronizzato (in tempo reale) del brano riconosciuto.

Successivamente, nei prossimi capitoli, verranno esaminate in dettaglio le specifiche funzionalità di ciascun componente sopracitato.

<sup>17</sup> In realtà l'eseguibile è la RIA, contenente HTML, il modulo Wasm e il codice JavaScript necessario al caricamento del modulo Wasm

<sup>18</sup> Anche in questo caso si ha a che fare con una RIA



## 2

### La libreria *fin*

La libreria *fin* è il componente principale del sistema e ha il compito di estrarre le features caratterizzanti di un brano, garantendo il più possibile che audio simili abbiano features simili. D'ora in avanti ci si riferirà alle features indicandole come *Links*.

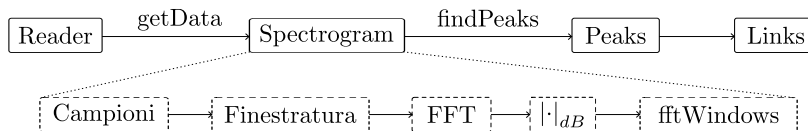


Figura 2.1: Schema architettura libreria *fin*

Il punto di ingresso della libreria è un *Reader*, ovvero un contenitore dei campioni che compongono un audio; in uscita si hanno i *Links* che caratterizzano quell'audio. Analizzando più dettagliatamente lo schema in figura 2.1:

1. **Reader** è una classe astratta del namespace *readers*, è la rappresentazione di un audio nel dominio del tempo. La classe definisce un metodo virtuale puro `getData()` che restituisce i campioni dell'audio.
2. **Spectrogram** è una classe del namespace *math*, rappresenta lo spettrogramma di un audio. Riceve i campioni dal *Reader* e procede come segue:
  - (a) Finestra il segnale ottenendone un segmento.
  - (b) Calcola la DFT per ogni segmento.
  - (c) Calcola il modulo dell'output della DFT per ogni segmento.
  - (d) Salva il risultato del punto precedente in una struttura chiamata *fftWindow*.
  - (e) Le varie *fftWindow* compongono lo spettrogramma, in altre parole una rappresentazione nel tempo del contenuto in frequenza dell'audio.
3. **findPeaks** è una funzione nel namespace *core* che estrae i picchi più intensi<sup>1</sup> dallo spettrogramma. Ogni picco è rappresentato da un oggetto *Peak*.

<sup>1</sup> Nonché i più significativi per il sistema in analisi

4. i **Links** sono il risultato dell'operazione di *fingerprinting*, ovvero le features che caratterizzano l'audio, sono definiti nel namespace core. Vengono creati a partire dai vari Peak estratti da `findPeaks`.

Tutte le classi e le funzioni della libreria *fin* sono contenute nel namespace *fin*.

### 2.1 La classe Reader e le sue sottoclassi

La classe Reader generica rappresenta un contenitore di campioni audio. Definisce due metodi puri virtuali:

- `getData()` che ritorna un `std::vector<float>` contenente i campioni.
- `dropSamples()` che svuota il `vector` dei campioni.

La classe Reader viene estesa da due classi *reader* concrete (vedi figura 2.2):

- `WavReader`, in grado di leggere i file Wave.
- `DummyReader`, un mero wrapper attorno al contenitore `std::vector`, con un metodo `addSamples` per inserire nuovi samples nel vettore.

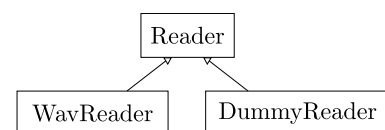


Figura 2.2: Schema ereditarietà tra readers

### 2.2 Lo spettrogramma

Lo *spettrogramma* è una rappresentazione tridimensionale del contenuto in frequenza di un segnale nel tempo. Questa rappresentazione di un segnale audio viene calcolata e memorizzata all'interno della classe `Spectrogram` del namespace *math*.

Il costruttore riceve in input come parametro un `std::vector<float>` di campioni nel dominio del tempo dell'audio da analizzare: il primo passo da compiere è *finestrare il segnale*.

#### 2.2.1 La finestratura

Il primo passo per ottenere uno spettrogramma è finestrare il segnale<sup>2</sup>: il caso più semplice consiste nell'utilizzare una finestra rettangolare come indicato in figura 2.3.

L'utilizzo di una *funzione finestra*, tuttavia, porta al fenomeno dello *spectral leakage*, ovvero la comparsa nello spettro di nuove frequenze che non esistono realmente nello spettro del segnale audio originale. Nello specifico, l'energia di un picco di frequenza confluisce parzialmente nelle frequenze vicine (da cui il termine *leakage*), *sporcando* la rappresentazione dello spettrogramma.

Lo *spectral leakage* non può essere del tutto evitato, ma può essere tenuto sotto controllo e ridotto, utilizzando una funzione finestra più complessa rispetto a quella rettangolare.

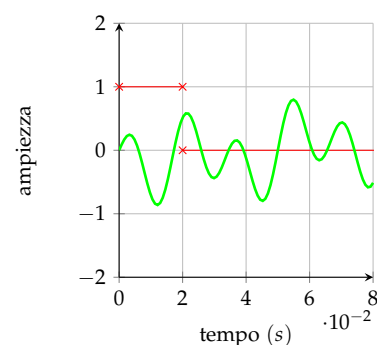


Figura 2.3: Finestratura con finestra rettangolare

<sup>2</sup> Prajoy Podder, Tanvir Zaman Khan, Mamdudul Haque Khan, and M Muk-tadir Rahman. Comparative performance analysis of hamming, hanning and blackman window. *International Journal of Computer Applications*, 96(18): 1–7, 2014

La scelta della finestra implica un trade-off tra la *risoluzione spettrale* e il *range dinamico* del sistema. Infatti, l'utilizzo di una finestra con banda passante stretta, consente di ottenere una maggiore risoluzione spettrale, ovvero di distinguere frequenze molto vicine tra loro, ma allo stesso tempo comporta una riduzione del range dinamico del sistema, ovvero della capacità di distinguere segnali di ampiezza molto differente tra loro. Al contrario, l'utilizzo di una finestra con banda passante ampia, comporta una maggiore sensibilità ai segnali con un ampio range dinamico, ma al costo di una riduzione della risoluzione spettrale.

Inoltre, è importante considerare che la scelta della finestra deve essere fatta in base alle specifiche caratteristiche del segnale che si intende analizzare, come ad esempio la presenza di rumore o la distribuzione di energia spettrale. Pertanto, la scelta dev'essere attentamente valutata in base alle esigenze specifiche dell'applicazione.

Il vantaggio principale della *finestra rettangolare* è la sua risposta in frequenza piatta, risultando quindi la migliore in termini di risoluzione spettrale. Tuttavia, la finestra rettangolare ha una bassa attenuazione laterale, ovvero non è in grado di attenuare il rumore presente nelle frequenze circostanti, il che limita il suo range dinamico.

Per ovviare a questo problema, sono state sviluppate altre finestre, come quelle di *Blackman* e *Hann*. La finestra di *Hann* è una scelta intermedia tra la finestra *rettangolare* e la finestra di *Blackman*. Infatti, la finestra di *Hann* presenta una risoluzione spettrale inferiore rispetto alla finestra *rettangolare*, ma un range dinamico migliore. La finestra di *Blackman*, invece, è la scelta migliore in termini di range dinamico, poiché, tra quelle citate, è quella che riduce maggiormente la diffusione dell'energia in altre frequenze vicine. Tuttavia, la sua risoluzione spettrale è la peggiore.

La scelta della finestra da utilizzare dipende dalle caratteristiche del segnale e degli obiettivi dell'analisi. In questo caso di studio si avrà a che fare potenzialmente con un segnale rumoroso, quindi si è portati ad utilizzare la finestra di *Blackman*. D'altro canto, però, si deve considerare che, anticipando il contenuto dei prossimi paragrafi, l'estrazione dei Links risulta migliore tanto migliore è l'analisi in frequenza del segnale e, quindi, si dovrebbe prediligere la massima risoluzione spettrale, individuando con precisione le componenti di frequenza presenti nel segnale, a discapito del range dinamico.

A questo punto risulta necessario valutare *sul campo* le performance di queste finestre. Per questo motivo è stato predisposto un *ambiente di test* composto da circa 500 brani di generi molto diversi tra loro<sup>3</sup> e per ognuno di questi brani:

1. È stato estratto un segmento di pochi secondi.

<sup>3</sup> I generi inclusi sono stati il metal, il rock, il blues e la musica classica

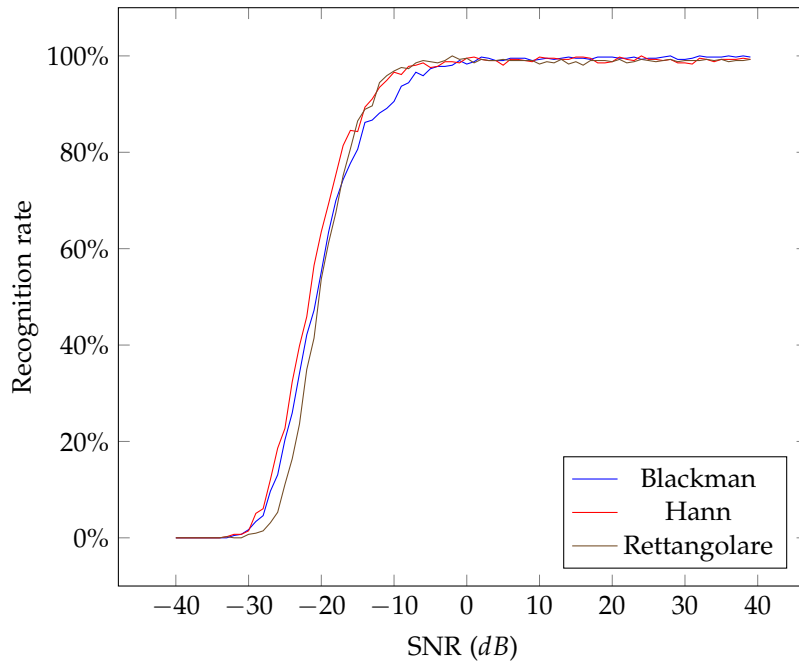


Figura 2.4: Recognition rate in funzione dell'SNR per le varie finestre

2. Il segmento è stato distorto, sommando del rumore non bianco e introducendo del clipping.
3. Nota l'energia del segmento del segnale, è stato sommato un rumore per ottenere un SNR target.

Si è quindi fatto variare, per ogni brano, l'SNR tra  $-40dB$  e  $+40dB$  con passo di  $1dB$ , per le tre finestre considerate, contando quante volte l'algoritmo fosse in grado di individuare il brano correttamente: si è ottenuto il grafico in figura 2.4.

Analizzando dal grafico le prestazioni delle finestre di Hann, rettangolare e di Blackman, si può notare che:

- Per un SNR fino a  $-15dB$  la finestra con le performances migliori è quella di Hann.
- Nel tratto tra  $-15dB$  in poi la finestra rettangolare e quella di Hann sono comparabili.
- L'utilizzo della finestra di Blackman si traduce in un recognition rate sempre minore o di quello della finestra di Hann o di quella rettangolare.

L'efficacia della finestra di Hann rispetto alle altre due è quindi dimostrata. Tuttavia, non esiste una finestra *migliore* in assoluto e la scelta della finestra più adatta dipende dalle specifiche del problema in esame. Nel caso in analisi la finestra di Hann è stata selezionata poiché ha ottenuto complessivamente le performance migliori, raggiungendo mediamente il *recognition rate* più alto.

La libreria fin finestra il segnale audio con un overlap<sup>4</sup> del 50% (vedi figura 2.5). Questa scelta è dovuta a due motivi:

<sup>4</sup> MW Trethewey. Window and overlap processing effects on power estimates from spectra. *Mechanical Systems and Signal Processing*, 14(2):267–278, 2000



1. Sopprimere all'attenuazione agli estremi della finestra introdotti dalla funzione finestra di Hann.
2. Analizzare meglio il contenuto in frequenza a cavallo tra due finestre se non si usa overlap.

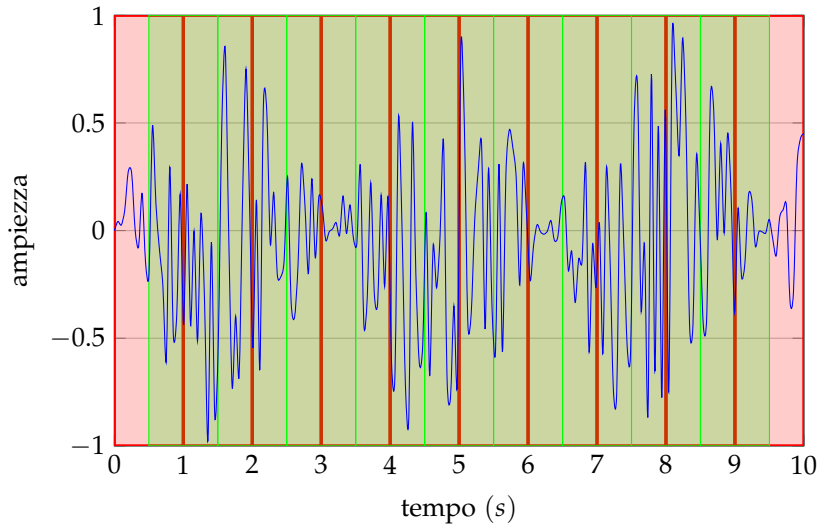


Figure 2.5: Finestratura audio con overlap

### 2.2.2 La DFT

La *trasformata di Fourier discreta* viene calcolata facendo ricorso alla libreria **fftw**<sup>5</sup>.

In prima analisi è necessario introdurre il concetto di *risoluzione spettrale*<sup>6</sup>, ossia la capacità di un'analisi spettrale di distinguere due componenti di frequenza vicine (nel dominio della frequenza). Dipende dal numero di campioni utilizzati nella finestra e dalla finestra utilizzata<sup>7</sup>. La *risoluzione in frequenza* della DFT può essere calcolata come segue:

$$\Delta f = \frac{F_s}{N} \quad (2.1)$$

Dove:

- $\Delta f$  è la *risoluzione spettrale*, anche detta *dimensione del bin di frequenze*.
- $F_s$  è la *frequenza di campionamento*.
- $N$  sono il numero di campioni in una finestra.

Se si guarda alla definizione di DFT di seguito

$$X[n] := \sum_{k=0}^{N-1} x[k] e^{-i \frac{2\pi kn}{N}} \quad (2.2)$$

dove  $N$  rappresenta ancora il numero di campioni della finestra, si può facilmente notare che per calcolare il bin  $n$ -esimo bisognerà eseguire  $N$  addizioni e  $N$  moltiplicazioni (quindi  $2N$  operazioni in totale). Di conseguenza, ottenere  $N$  bins vuol dire eseguire  $2N^2$

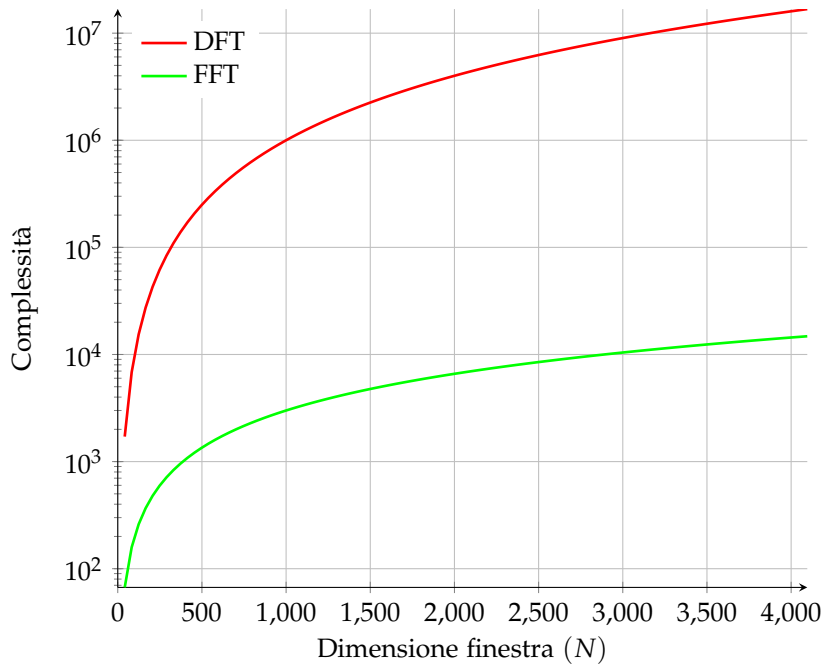
<sup>5</sup> Reperibile all'indirizzo <https://www.fftw.org/>

<sup>6</sup> William L Briggs and Van Emden Henson. *The DFT: an owner's manual for the discrete Fourier transform*. SIAM, 1995

<sup>7</sup> Vedere paragrafo 2.2.1 sulla risoluzione spettrale delle finestre

operazioni in virgola mobile: una complessità non indifferente (pari a  $\mathcal{O}(N^2)$ ).

Fortunatamente esistono implementazioni più efficienti della DFT che prendono il nome di FFT (Fast Fourier Transforms). Queste implementazioni, come ad esempio *fftw*, hanno una complessità di solo  $\mathcal{O}(N \log N)$ <sup>8</sup>. Le complessità della DFT e della FFT sono visibili nel grafico 2.6.



<sup>8</sup> Matteo Frigo and Steven G Johnson. The design and implementation of *fftw3*. *Proceedings of the IEEE*, 93(2): 216–231, 2005

Figura 2.6: Complessità DFT e FFT

La libreria *fin* è configurata per trattare segnali audio campionati a 8000Hz, utilizzando finestre di dimensione pari a 512 campioni, quindi usando la 2.1:

$$\Delta f = \frac{8000\text{Hz}}{512} = 15.625\text{Hz}$$

È importante considerare un altro aspetto: nonostante l'incrementare la dimensione della finestra migliori la risoluzione in frequenza (permettendo di avere bin più *stretti*), viene incrementato anche il numero di operazioni che compongono la FFT, essendo dipendente da  $N$ .

Allo stesso tempo, tuttavia, sarebbe controproducente usare una frequenza di campionamento del segnale pari a 44100Hz<sup>9</sup>, in quanto questo porterebbe ad avere una risoluzione in frequenza molto bassa<sup>10</sup>. La soluzione consiste nel fare *downsampling*, ovvero abbassare la frequenza di campionamento del segnale, in questo caso a 8000Hz. L'unica differenza sarà che il segnale ricampionato avrà, al massimo, un contenuto in frequenza tra gli 0Hz e i 4000Hz circa, tuttavia questo non rappresenta un problema: la parte *più significativa* del segnale, ovvero le frequenze più basse, è ancora presente.

<sup>9</sup> La frequenza standard per il campionamento audio

<sup>10</sup>  $\Delta f = \frac{44100\text{Hz}}{512} \cong 86\text{Hz}$

In questo modo quindi si riduce la complessità di un fattore  $\alpha$  pari a:

$$\alpha = \frac{N^2}{N \log N} = \frac{N}{\log N}$$

Il tutto mantenendo la risoluzione in frequenza ragionevolmente bassa.

Inoltre, è necessario fare alcune osservazioni aggiuntive<sup>11</sup>:

1. Il primo bin non contiene informazioni rilevanti riguardo la rappresentazione in frequenza del segnale.
2. L'output della DFT su segnali reali è simmetrico.

<sup>11</sup> William L Briggs and Van Emden Henson. *The DFT: an owner's manual for the discrete Fourier transform*. SIAM, 1995

A dimostrazione del primo fatto si può partire dalla definizione della DFT 2.2 e valutarla in  $n = 0$ :

$$\begin{aligned} X[n]_{|n=0} &:= \sum_{k=0}^{N-1} x[k] e^{-i \frac{2\pi kn}{N}} \Big|_{n=0} \\ &= \sum_{k=0}^{N-1} x[k] e^0 \\ &= \sum_{k=0}^{N-1} x[k] \end{aligned}$$

In altre parole, il primo bin dell'output della DFT corrisponde alla *componente DC* del segnale in ingresso che può essere assunto pari a 0 e quindi ignorato nel caso di segnali audio.

Per quanto riguarda il secondo fatto, si deve dimostrare che se  $x[n]$  è un segnale a valori reali allora:

$$X[N - n] = X^*[n] \quad (2.3)$$

dove:

- $X[\odot]$  è l'output della DFT applicata a  $x[n]$
- $(\odot)^*$  denota il coniugato di  $\odot$

Partendo dalla 2.3, si sostituisce  $n$  con  $N - n$  nella definizione della DFT 2.2:

$$\begin{aligned} X[N - n] &:= \sum_{k=0}^{N-1} x[k] e^{-i \frac{2\pi k(N-n)}{N}} \\ &= \sum_{k=0}^{N-1} x[k] \underbrace{e^{-i 2\pi k}}_{1 \forall k} e^{i \frac{2\pi kn}{N}} \\ &= \sum_{k=0}^{N-1} x[k] e^{i \frac{2\pi kn}{N}} \\ &= \left( \sum_{k=0}^{N-1} x[k] e^{-i \frac{2\pi kn}{N}} \right)^* \\ &= X^*[n] \end{aligned}$$

Dove il passaggio al coniugato è invariante per  $x[k]$  dato che è a valori reali.

Le due precedenti considerazioni permettono quindi all'algoritmo di lavorare in maniera più efficiente, escludendo la componente DC dai calcoli ed impiegando una versione ottimizzata della FFT per input reali, con soli  $\frac{N}{2} - 1$  coefficienti utili in output, dimezzando di fatto la complessità.

### 2.2.3 Il modulo dello spettrogramma e le *fftWindows*

L'output della DFT è un vettore di  $\frac{N}{2} - 1$  numeri complessi, ma l'algoritmo necessita solo del loro modulo in *dB*, calcolato come:

$$20 \log_{10} \sqrt{a^2 + b^2} = 10 \log_{10} (a^2 + b^2)$$

Dove  $a$  e  $b$  sono rispettivamente la parte reale e immaginaria del numero complesso.

I vari moduli, per ogni finestra considerata, vengono memorizzati all'interno di un oggetto `fftWindow`. Ogni `fftWindow` viene inserita in un `std::vector` che verrà utilizzato dalla funzione `findPeaks`.

## 2.3 I Peaks

Pronto lo spettrogramma, lo si deve processare per ottenere i picchi di frequenze più significativi e scartare tutto il resto: questo permette di avere una prima rappresentazione più compatta del segnale audio.

Lo spettrogramma è diviso in una sorta di griglia, in cui ogni cella ha le seguenti dimensioni:

- Larghezza pari a  $C^{12}$ .
- Altezza pari ad un range di frequenze, chiamato *banda*.

<sup>12</sup> Definita nel file `consts.h`

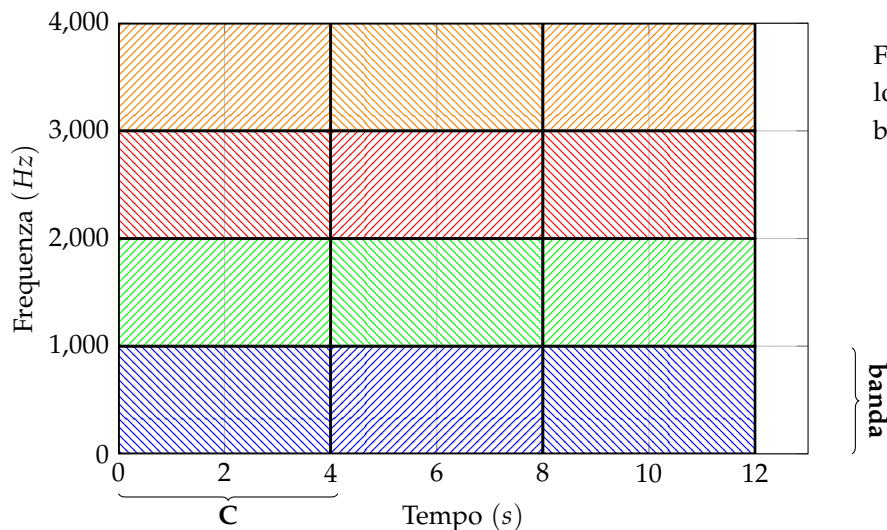


Figure 2.7: Suddivisione dello spettro (ogni colore è una banda)

Si prenda la suddivisione semplificata della figura 2.7 dove:

- $C = 4$ .
- La banda ha dimensione fissa pari a 100Hz.

Nell'algoritmo questi parametri sono scelti diversamente:  $C$  è uguale a 32 (vedere 2.3.2) e la suddivisione in bande segue una scala logaritmica (vedere 2.3.1).

Per ogni cella, attraverso la funzione `findPeaksInWindow` definita nel file `peaks_finder.cpp`, l'algoritmo individua e memorizza le 3 frequenze<sup>13</sup> più prominenti.

<sup>13</sup> Costante `N_PEAKS` in `consts.h`

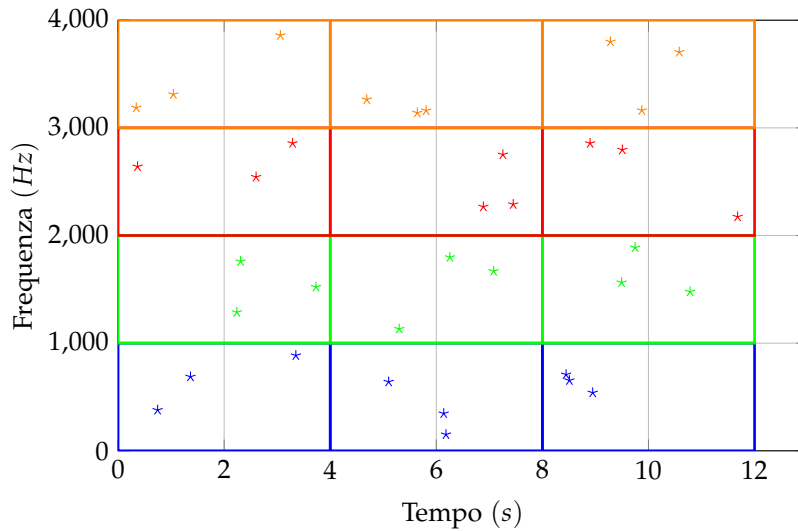


Figure 2.8: Spettrogramma con 3 picchi per cella

La funzione `findPeaks`<sup>14</sup> si occupa di dividere lo spettro in celle, per ogni cella richiama `findPeaksInWindow` e ne memorizza il risultato, ottenendo qualcosa di simile a quanto visibile in figura 2.8. Alla fine dell'esecuzione di `findPeaks` sarà disponibile un `std::vector<Peak>` ordinato per intensità del picco. Questi picchi verranno utilizzati in seguito per creare i Links.

<sup>14</sup> Sempre in `peaks_finder.cpp`

### 2.3.1 Scelta della dimensione delle bande

Esistono diversi modi per suddividere uno spettrogramma in range di frequenze significativi, ma quello che la libreria `fin` utilizza è la *scala Mel*<sup>15</sup>.

La scala Mel è stata sviluppata per emulare il modo in cui l'orecchio umano percepisce le frequenze dei suoni: è basata sulla scoperta sperimentale che più alta è la frequenza di due suoni più è difficile per l'orecchio umano discriminarli. Questa scala è stata, quindi, creata per mappare le frequenze del suono in modo che la loro rappresentazione sia più in linea con la percezione dell'orecchio umano.

È definita come segue:

$$f(m) := 700 \left( 10^{\frac{m}{2595}} - 1 \right) \quad (2.4)$$

dove:

<sup>15</sup> Paul Pedersen. The mel scale. *Journal of Music Theory*, 9(2):295–308, 1965

- $m$  è la frequenza Mel
- $f$  è la frequenza in Hertz

Si può anche ricavare la duale:

$$m(f) = 2595 \log_{10} \left( \frac{f}{700} + 1 \right) \quad (2.5)$$

rappresentata in figura 2.9.

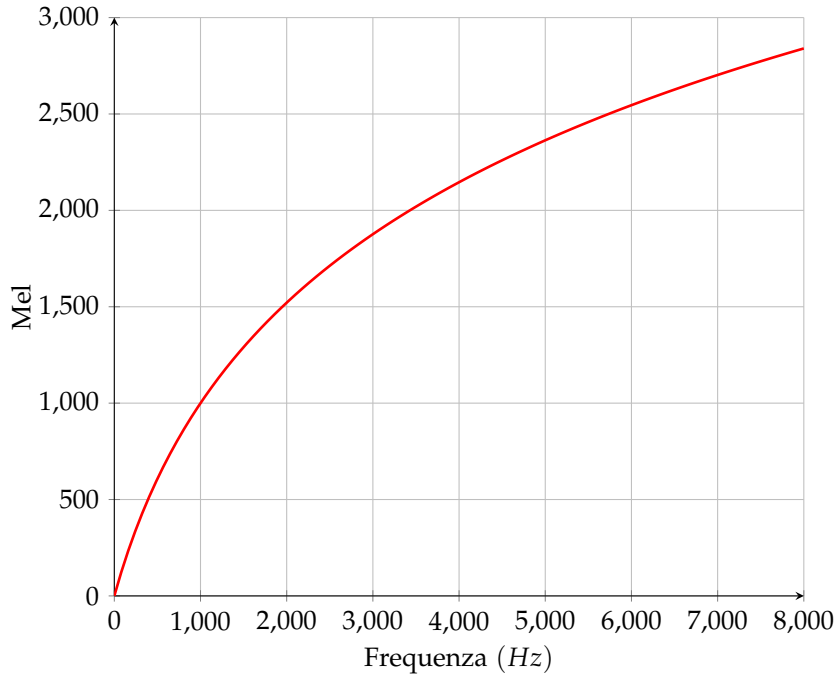


Figura 2.9: Mapping tra Hertz e scala Mel

La libreria `fin` crea le varie bande seguendo l'algoritmo descritto di seguito:

1. Parte dalla frequenza Mel  $\alpha_M = 250^{16}$  che se valutata nella 2.4 corrisponde a  $f(\alpha_M) = \alpha_F \cong 174\text{Hz}$ : questo vuol dire che tutte le frequenze inferiori a  $\alpha_F$  vengono scartate.
2. Si è definito un  $\delta_M = 200^{17}$ , in modo tale che gli estremi delle bande sulla scala Mel saranno a:

$$\{\alpha_M, \alpha_M + \delta_M, \alpha_M + 2\delta_M, \dots, \alpha_M + k\delta_M\}$$

3. Si convertono gli estremi in frequenze in Hertz usando la 2.4, in modo tale che gli estremi delle bande siano a:

$$\{f(\alpha_M), f(\alpha_M + \delta_M), f(\alpha_M + 2\delta_M), \dots, f(\alpha_M + k\delta_M)\}$$

Si è scelto di scartare le frequenze inferiori a  $174\text{Hz}$  poiché rappresentano frequenze troppo basse, spesso molto rumorose, che non fanno altro che sprecare complessità computazionale, dato che non contengono informazioni rilevanti.

<sup>16</sup> Costante `MEL_START` in `consts.h`

<sup>17</sup> Costante `MEL_STEP` in `consts.h`

### 2.3.2 Scelta di $C$

$C$  rappresenta il passo di suddivisione dello spettro nel tempo (vedi 2.7). Ogni  $C$  finestre (e per ogni banda) vengono estratti i 3 picchi più significativi.

È necessario trovare il giusto compromesso tra  $C$ , il numero di picchi individuati e la robustezza dell'algoritmo:

- Avere un  $C$  *grande* vuol dire estrarre pochi picchi per ogni banda, il matching diventerà più difficoltoso, in quanto vengono estratte poche features dei segnali audio.
- Avere un  $C$  *piccolo*, al contrario, significa estrarre più picchi, avere un matching più robusto (dato che vengono estratte più features), ma al contempo dover memorizzare più features nel database.

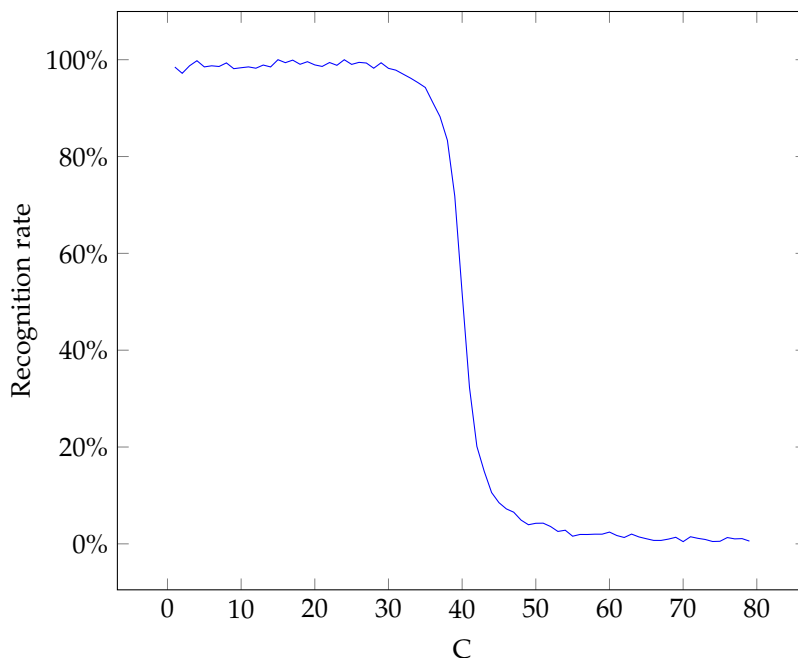


Figura 2.10: Recognition rate in funzione del parametro  $C$

Anche in questo caso risulta necessario valutare le performance del sistema in funzione di  $C$ . È stato predisposto un ambiente di test, simile a quello già presentato nel paragrafo 2.2.1, ottenendo il grafico in figura 2.10.

È possibile notare che per un  $C$  superiore a 40 il rate di riconoscimento diventa pressoché nullo. Al contrario per un  $C$  inferiore a circa 30 si ottiene un buon recognition rate. Si è quindi scelto di utilizzare un  $C$  pari a 32, permettendo, in questo modo, di minimizzare il numero di features estratte.

## 2.4 I Links

A questo punto si dispone di alcune features (i *picchi*) che, in teoria, potrebbero essere utilizzate per identificare un brano. Ogni picco

del segmento registrato dal client dovrebbe essere confrontato con i picchi del brano completo. Tuttavia questo approccio, anche se semplice e probabilmente funzionante, risulterebbe troppo lento. Infatti, in questo caso, la complessità sarebbe dell'ordine della lunghezza totale di tutti i brani presenti nel database: paradossalmente, più brani l'algoritmo riuscirebbe a individuare, più lento diventerebbe.

Per questo motivo, la libreria fin utilizza un altro algoritmo:

1. In primo luogo, viene individuato tra i picchi un *anchor point* o un *indirizzo*.
2. Ogni anchor point definisce una *target zone*, ovvero una porzione della costellazione dei picchi: sia  $\alpha$  un anchor point,  $A_\alpha$  l'insieme di picchi<sup>18</sup> associato ad  $\alpha$ ,  $\beta$  un generico picco, allora:

<sup>18</sup> Inizialmente vuoto

$$\beta \in A_\alpha \iff (1 \leq \beta.\text{window} - \alpha.\text{window} < 3) \wedge (\beta.\text{band} = \alpha.\text{band})$$

$A_\alpha$  sarà quindi l'insieme dei punti che fanno parte della target zone.

Le bande sono le stesse definite in base alla scala Mel (vedi 2.3.1). Si ottiene qualcosa di simile a quanto illustrato in figura 2.11.

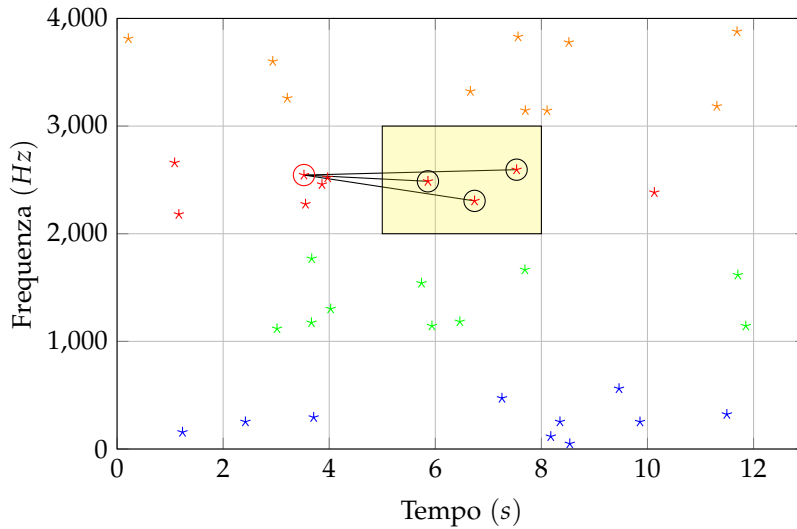


Figure 2.11: Selezione dell'anchor point e della target zone

La coppia *anchor point* e *picco* prende il nome di *Link*. Il Link, quindi, viene costruito a partire dalla coppia  $(\alpha, \beta)$  in questo modo:

$$\text{Link} \begin{cases} \text{hash} = h(\delta_w, \delta_f, \alpha.\text{frequency}) \\ \text{window} = \alpha.\text{window} \end{cases}$$

Dove:

- $\delta_w = \beta.\text{window} - \alpha.\text{window}$
- $\delta_f = \beta.\text{frequency} - \alpha.\text{frequency}$
- $h(\odot)$  è una funzione di hash



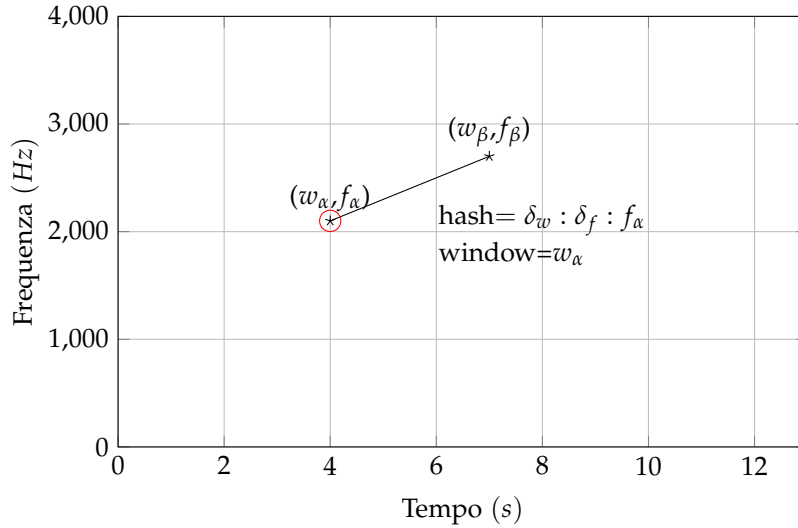


Figure 2.12: Struttura dei link

Nella 2.12 è mostrato un esempio di Link. Notare che viene memorizzata anche la finestra dell'anchor point: questo dettaglio ritornerà utile in seguito<sup>19</sup>.

I Link generati in questo modo sono molto riproducibili, soprattutto in presenza di rumore o artefatti di codifica dell'audio.

Un altro grande vantaggio di questa rappresentazione risiede nel fatto che tutti i tempi<sup>20</sup> sono relativi, in quanto espressi rispetto all'anchor point: in altre parole, non importa quando l'utente inizia a registrare il segmento audio, l'algoritmo riuscirà comunque ad individuare il match.

<sup>19</sup> Vedi paragrafo 3.2.1

<sup>20</sup> Gli indici delle finestre ad essere precisi



## 3

### La libreria *fin\_db*

La libreria *fin\_db* è il secondo dei componenti più importanti del sistema. Il suo compito principale è quello di interfacciarsi con il database per effettuare le seguenti operazioni:

- *Inserimento*: inserire i Links di un nuovo brano nel database insieme al suo nome
- *Ricerca*: gestire il processo di individuazione del brano a partire dai Links che lo caratterizzano

In secondo luogo, *fin\_db* può essere vista come una sorta di livello di astrazione del database: la libreria è basata sul connector *mariadb++*<sup>1</sup> e il database utilizzato è *MariaDB*<sup>2</sup>, ma può essere facilmente riconfigurata per utilizzare altri database e altri connector. In particolare, *DB*<sup>3</sup> è la classe che si occupa di dialogare con l'istanza del database.

<sup>1</sup> <https://github.com/viaduck/mariadbpp>

<sup>2</sup> <https://mariadb.org/>

<sup>3</sup> Vedere il file *db.cpp*

#### 3.1 L'inserimento di un brano

Il primo passo per rendere un brano individuabile è quello di memorizzare i Links che lo caratterizzano e il suo nome all'interno database. A questo scopo sono state predisposte due entità rappresentate in figura 3.1:

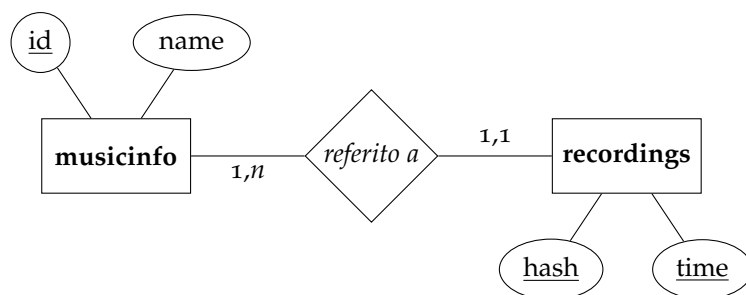


Figura 3.1: Modello ER database, inserimento

- *musicinfo* contiene le informazioni del brano, nello specifico il suo nome e un id che lo identifica univocamente.
- *recordings* contiene i Links. Utilizzando il modello relazionale, oltre ai Links, verrà memorizzata anche la foreign key *songId* che

punta ad un record di **musicinfo**. La tupla

$$\underbrace{\{hash, time, songId\}}_{Link}$$

fungerà da chiave primaria.

L'inserimento di un nuovo brano nel database avviene richiamando la funzione

```
void insertSong(
    const std::string &filename ,
    DB &db
)
```

definita nel file `fin_db.h`.

La funzione prende in input il nome del file audio da leggere e un oggetto DB<sup>4</sup> e:

1. Crea un oggetto `WavReader` per leggere il file passatogli come parametro.
2. Estrae i Links utilizzando la funzione `computeLinks`.
3. Richiama il metodo `db.insertSong` passando come parametri il nome del brano e i Links del brano stesso.

A sua volta il metodo `db.insertSong` inserisce nella tabella **musicinfo** il nome del brano e nella tabella **recordings** i Links che lo caratterizzano (vedi figura 3.1).

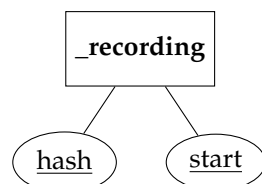
Uno stralcio delle due tabelle è visibile nelle tabelle a margine 3.1 e 3.2.

### 3.2 L'identificazione di un brano

Si assuma ora che:

- i Links e i nomi dei brani completi siano già nel database.
- i Links siano già stati estratti dal segmento da identificare.

Allo scopo di facilitare il processo di identificazione, viene introdotta una nuova tabella, rappresentata in figura 3.2, per contenere i Links del segmento registrato. Si noti come questa tabella sia molto



simile alla tabella **recordings**, ma con alcune differenze:

- Non esiste alcuna relazione con la tabella **musicinfo**, in quanto **\_recording** conterrà i Links di un solo segnale audio.

<sup>4</sup> Già istanziato dal caller

id	name
1	Arabella
2	Fell In Love With A Girl
3	The Jeweller's Hand
4	Fight Fire with Fire
5	Ride the Lightning

Tabella 3.1: Stralcio **musicinfo**

hash	songId	time
93141319434145	4	625
154709161072387	1	3180
411179850164819	5	7399
454176498247512	3	9637
770548217553156	2	8544

Tabella 3.2: Stralcio **recordings**

Figura 3.2: Modello ER database, ricerca

- Il campo `time` è stato rinominato in `start`, questo è dovuto al fatto che nel caso dei brani completi, `time` rappresenta un valore assoluto<sup>5</sup>, mentre `start` è un riferimento relativo<sup>6</sup>.

In più, la tabella `_recording` viene creata con alcune particolari accortezze<sup>7</sup>:

1. È una *temporary table*, ovvero una tabella che esiste solo per la durata della connessione al database.
2. Viene specificato `ENGINE=MEMORY`, ovvero la tabella viene mantenuta interamente in RAM, non venendo, quindi, scritta su disco.

In generale, l'utilizzo di una temporary table con `ENGINE=MEMORY` è quindi molto utile in situazioni in cui è necessario mantenere temporaneamente i dati in memoria per migliorare le prestazioni, ma non è necessario preservarli per un lungo periodo di tempo, come nel caso in analisi.

La funzione che si occupa di identificare un segmento registrato dati i suoi Links è:

```
fin::DB::SearchResult searchFromLinks(
    const fin::core::Links &links,
    DB &db,
    bool noMinHint
)
```

ed è definita in `fin_db.h`. Prende in input:

1. i Links della registrazione.
2. un oggetto DB.
3. un parametro che indica se ritornare un match a prescindere dal numero di Links in comune<sup>8</sup>.

Richiama il metodo `db.searchSongGivenLinks` che ritorna una struct `SearchResult`, composta come segue:

```
struct SearchResult {
    bool found;
    std::uint32_t id;
    float timeDelta;
    std::uint64_t commonLinks;
    std::string name;
};
```

Dove:

- `found` indica se il segmento è stato identificato correttamente, ovvero se è stato trovato un match nel database.
- `id` è l'identificativo del brano originale identificato.
- `timeDelta` è la differenza temporale in secondi tra il segmento registrato e la sua posizione nel brano originale.

<sup>5</sup> L'inizio del brano

<sup>6</sup> Rispetto all'inizio del segmento registrato

<sup>7</sup> Xiaolong Pan, Weiming Wu, and Yonghao Gu. Study and optimization based on mysql storage engine. In *Advances in Multimedia, Software Engineering and Computing Vol. 2: Proceedings of the 2011 MSEC International Conference on Multimedia, Software Engineering and Computing, November 26–27, Wuhan, China*, pages 185–189. Springer, 2012

<sup>8</sup> Vedi paragrafo 3.2.2

- `commonLinks` è il numero di `Link`<sup>9</sup> in comune tra il segmento e il brano originale.
- `name` è il nome del brano originale.

<sup>9</sup> Vedi paragrafo 2.4

Quindi, se il brano viene identificato, vengono popolati di conseguenza i primi 4 campi della struct. Per reperire il nome del brano viene richiamato un ulteriore metodo: `db.getSongNameById`.

Nello specifico, `db.getSongNameById` consiste in una query su **musicinfo** per ottenere il nome associato ad un determinato id.

Il metodo `db.searchSongGivenLinks` richiede una trattazione specifica nel paragrafo 3.2.1.

### 3.2.1 Il metodo `db.searchSongGivenLinks`

Il metodo `db.searchSongGivenLinks` è il cuore della parte di identificazione di un brano. Si basa su tre concetti fondamentali:

1. Tra i Links del brano originale  $Links_O$  e quelli del segmento registrato  $Links_R$  dev'esserci una differenza temporale  $\Delta T$  costante se si riferiscono allo stesso brano.<sup>10</sup>
2. La stessa differenza  $\Delta T$  dev'essere non negativa<sup>11</sup>.
3. Gli hash di  $Links_O$  e di  $Links_R$  devono corrispondere.

<sup>10</sup> Se l'utente ha iniziato a registrare il brano dopo 15s è ragionevole pensare che la differenza temporale tra `recordings.time` e `_recording.start` sia costante e pari a 15s

<sup>11</sup> `recordings.time` - `_recording.start`  $\geq 0$

A questo punto basterebbe quindi:

1. Raggruppare per  $\Delta T$  e per id del brano originale, definendo con  $n$  il numero di elementi che ricadono nello stesso gruppo.
2. Ordinare per  $n$  decrescente.
3. Estrarre il primo gruppo che rappresenta il match migliore.

Queste operazioni sono state realizzate in SQL con la query riportata di seguito:

```
SELECT
    recordings.songId,
    COUNT(*) AS n,
    recordings.time - _recording.start AS delta
FROM
    recordings INNER JOIN _recording
ON
    recordings.hash = _recording.hash
WHERE
    recordings.time >= _recording.start
GROUP BY
    delta,
    recordings.songId
ORDER BY n DESC
```

Una volta eseguita la query, il metodo `db.searchSongGivenLinks` estrae la prima riga del recordset e se il numero di Link

in comune  $n$  supera una determinata soglia<sup>12</sup> popola la struct SearchResult, come riportato nel paragrafo 3.2.

<sup>12</sup> Vedi paragrafo 3.2.2

In figura 3.3 è stato riportato un grafico in cui sull'asse delle ascisse è presente il numero di finestra nella quale è contenuto un Link della registrazione originale, analogamente accade per l'asse delle ordinate, ma per il segmento registrato. Si nota facilmente la diagonale a densità maggiore intorno al valore 2000 sulle  $x$ , questo vuol dire che:

- Un match è stato trovato.
- La registrazione è iniziata circa 2000 finestre dopo l'inizio del brano originale.

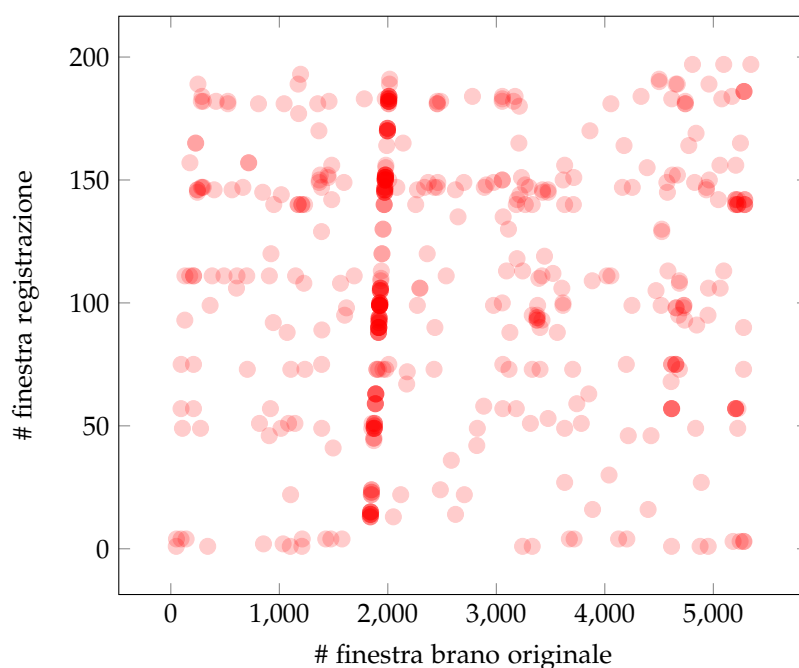


Figura 3.3: Scatterplot di un match

### 3.2.2 Il numero di Link comuni

Qual è la soglia oltre la quale si può dire con *abbastanza sicurezza* che un segmento registrato fa parte di un determinato brano? La cosa più ragionevole da fare è definire sperimentalmente una soglia di Links in comune tra segmento registrato e brano originale, oltre la quale si ottiene un rate di falsi positivi basso.

Intuitivamente quanto più il numero di Links in comune è basso tanto più è probabile che venga identificato un brano errato, d'altro canto, un numero di Links in comune sufficientemente alto porta ad una *confidence* alta sull'identificazione.

A questo scopo è stato predisposto un ambiente di test:

1. Viene estratto un segmento di durata compresa tra 0.5 e 6 secondi dai brani originali.
2. Per ogni segmento estratto viene eseguito il processo di identificazione.

3. Per ogni segmento vengono memorizzati in una mappa il numero di Links in comune come chiave e i false positive e i true positive come valore.

Ottenute queste informazioni il numero di falsi positivi viene riscalo sul totale di identificazioni. Si può quindi realizzare il grafico in figura 3.4, che visualizza il rate di falsi positivi al variare del numero di Links in comune.

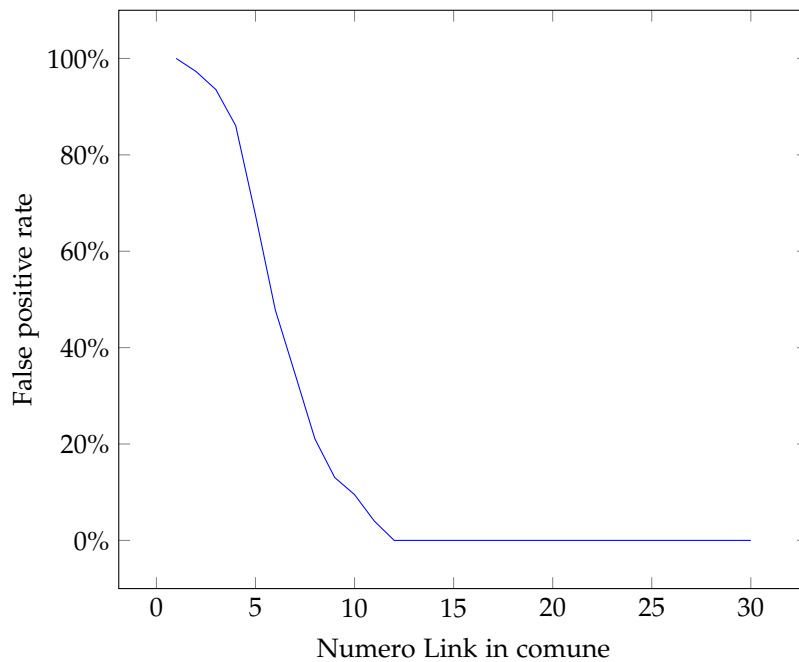


Figura 3.4: False positive rate in funzione del numero di Link in comune

Si può, quindi, facilmente notare, interpretando il grafico, che la soglia oltre la quale il rate di falsi positivi viene minimizzato è compresa tra 10 e 15. In altre parole: se il segmento registrato ed un determinato brano hanno in comune un numero di Links pari almeno a circa 15, allora si può dire con ragionevole sicurezza che è stato probabilmente individuato il brano corretto.

La soglia di Link in comune è stata, dunque, impostata a 15<sup>13</sup>.

<sup>13</sup> Costante MIN\_HINT in `consts.h`



## 4

### L'eseguibile *server\_entry*

Riprendendo lo schema già presentato in figura 1.1 ed evidenziando lo scope di *server\_entry*, si ottiene quanto riportato in figura 4.1.

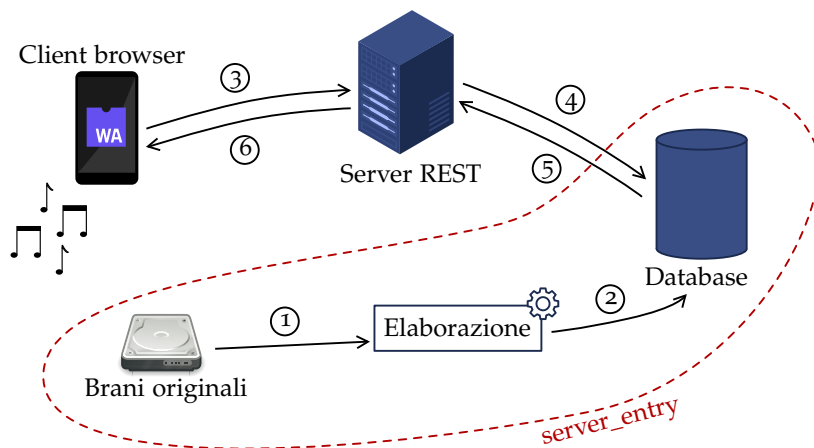


Figura 4.1: Schema architettura generale, dettaglio *server\_entry*

Più nello specifico, l'eseguibile *server\_entry* è la parte del sistema che si occupa di:

1. Leggere i file Wave dei brani originali dalla memoria di massa.
2. Estrarne i Links.
3. Memorizzare i Links e i nomi dei brani all'interno del database.

Server\_entry non è altro che un wrapper costruito attorno alle funzionalità offerte dalla libreria *fin\_db* (vedere figura 1.2).

Più tecnicamente, *server\_entry* riceve attraverso la riga di comando un path che punta ad una cartella contenente dei file Wave e per ogni Wave nella cartella richiama una singola funzione di *fin\_db*:

```
void fin::insertSong(
    const std::string &filename,
    DB &db
)
```

Passando il nome del brano da processare e l'oggetto DB per accedere al database<sup>1</sup>.

<sup>1</sup> Per maggiori dettagli vedere 3.1



## 5

### L'eseguibile *server\_rest*

Riprendendo lo schema già presentato in figura 1.1 ed evidenziando lo scope di *server\_rest*, si ottiene quanto riportato in figura 5.1.

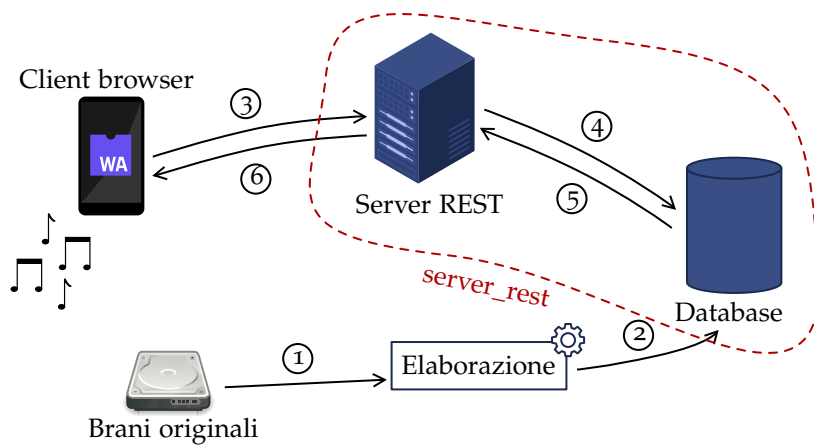


Figura 5.1: Schema architettura generale, dettaglio *server\_rest*

Il compito dell'eseguibile *server\_rest* è, quindi, quello di mettere a disposizione un endpoint REST per l'identificazione delle registrazioni audio.

Questo componente è basato sulla libreria open-source *cpp-httplib*<sup>1</sup> che implementa un semplice server HTTP bloccante. *Server\_rest* sfrutta funzionalità sia della libreria *fin*, sia della libreria *fin\_db*.

<sup>1</sup> <https://github.com/yhirose/cpp-httplib>

#### 5.1 Il problema del CORS

Il protocollo CORS, ovvero Cross-Origin Resource Sharing<sup>2</sup>, è stato introdotto per prevenire che un sito web malintenzionato possa accedere ai dati degli utenti di un altro sito web legittimo. In altre parole si vuole evitare, o quantomeno regolare, il resource sharing tra entità differenti per questioni di sicurezza.

I browser moderni che supportano CORS, prima di inviare la vera e propria richiesta HTTP<sup>3</sup> verso un'origin esterna, inviano una *preflight request*. La *preflight request* è una richiesta OPTIONS inviata dal browser al server esterno per verificare se le richieste cross-domain sono ammissibili e entro che limiti lo sono. Se il ser-

<sup>2</sup> Jianjun Chen, Jian Jiang, Hai-Xin Duan, Tao Wan, Shuo Chen, Vern Paxson, and Min Yang. We still don't have secure cross-domain requests: an empirical study of cors. In *USENIX Security Symposium*, pages 1079–1093, 2018

<sup>3</sup> Una classica GET, POST, PUT o DELETE

ver risponde positivamente alla richiesta OPTIONS, il browser effettuerà la richiesta effettiva.

In questo modo, il protocollo CORS garantisce che solo le richieste provenienti da origini sicure e autorizzate possano accedere alle risorse del server esterno, garantendo la sicurezza nello scambio di informazioni tra origin diverse.

È stato necessario tener conto delle policy di sicurezza imposte dal protocollo CORS nella comunicazione tra il client wasm e il server\_rest (figura 5.2).

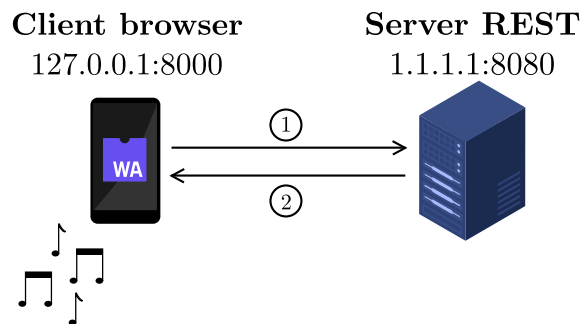


Figura 5.2: Schema richieste cross-origin

Anticipando quanto verrà trattato nel capitolo 7, nello scenario presentato, il client Wasm invia al server REST i Links che ha estratto dalla registrazione. Si noti, però, che la RIA Wasm viene servita da un server HTTP eseguito localmente al client. Di fatto, quindi, il server HTTP sul client (*origin 1*) vuole dialogare con il server HTTP REST (*origin 2*): si ha una richiesta cross-origin.

A questo punto, nel server\_rest, si è reso necessario introdurre un *pre routing handler* che gestisca le richieste preflight OPTIONS, insieme ad un *post routing handler* che aggiunga alcuni header alla risposta del server, previsti dalle specifiche del protocollo CORS.

Tra gli header aggiunti, vale la pena citare `Access-Control-Allow-Origin`, che indica da quali domini un server può ricevere richieste cross-origin. Mentre in passato era possibile specificare un asterisco (\*) come valore di questo header per consentire l'accesso a tutte le origin, oggi questa pratica è stata limitata per ragioni di sicurezza. Infatti, l'uso dell'asterisco potrebbe aprire la porta a attacchi di tipo *cross-site request forgery* (CSRF) e a violazioni delle politiche di sicurezza del browser.

Invece di utilizzare l'asterisco, è necessario specificare l'origin corretta, ovvero l'indirizzo dell'entità<sup>4</sup> che sta facendo la richiesta. Per questo motivo, non conoscendo a priori l'origin di una richiesta, il server estrae l'origin dalla richiesta ricevuta, per poi impostare l'`Access-Control-Allow-Origin` di conseguenza.

<sup>4</sup> In questo caso del server HTTP sul client

## 5.2 La serializzazione dei Links

Giunti a questo punto nasce un altro problema: il client invia i Links calcolati al server, ma in che formato? I Links dovranno esse-

re serializzati e deserializzati durante il transito tra client e server, così come indicato in figura 5.3.

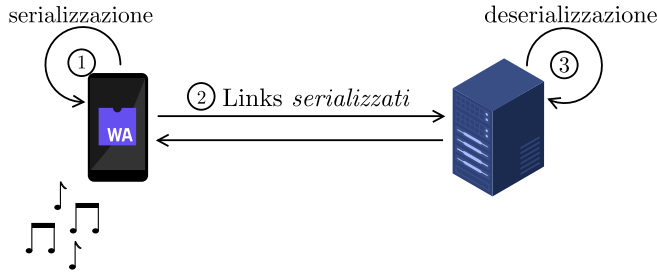


Figura 5.3: Schema serializzazione e deserializzazione Links

Si è deciso di evitare l'utilizzo di JSON, poiché il suo vantaggio dell'essere human-readable non compensa la sua scarsa efficienza nel trasportare dati<sup>5</sup>.

Basti pensare che, mediamente, i Links estratti da una registrazione di 6/7 secondi sono circa 900. Ogni Link contiene due interi a 64 bit, ovvero 20 cifre decimali, che rappresentano rispettivamente l'hash e il numero della finestra di appartenenza. Se si rappresenta un Link in JSON come segue<sup>6</sup>:

```
[
  745129879060042 , //hash
  307862961066999  //window
]
```

allora lo spazio richiesto ammonta a:

$$\text{len}("[") + \text{len}(\text{hash}) + \text{len}(", ") + \text{len}(\text{window}) + \text{len}("]") = 43B$$

Quindi 900 Links contenuti in un array JSON occuperanno:

$$\text{len}("[") + (\text{len}(\text{Link}) + \text{len}(", ")) \cdot 900 + \text{len}("]") = 39602B \cong 39KB$$

Al contrario, se si utilizza una serializzazione binaria, in cui si

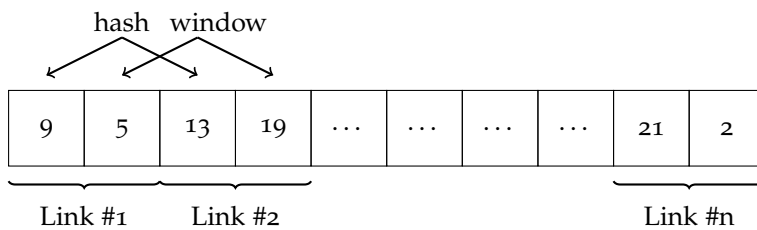


Figura 5.4: Rappresentazione serializzazione binaria Links

giustappongono i due interi che compongono il Link in uno stream di byte (vedi figura 5.4), si occuperanno:

$$\text{sizeof}(\text{uint64\_t}) \cdot 2 \cdot 900 = 8B \cdot 1800 = 14400B \cong 14KB$$

Si ottiene quindi un risparmio pari al:

$$\left(1 - \frac{14400B}{39602B}\right) \cdot 100 \cong 64\%$$

Esistono diverse librerie che gestiscono questo tipo di serializzazione<sup>7</sup>, tuttavia si è scelto di scrivere un'implementazione custom.

<sup>5</sup> CJ Tauro, N Ganesan, SR Mishra, and Anupama Bhagwat. Object serialization: A study of techniques of implementing binary serialization in c++, java & .net. *Intl J of Computer Applications*, 45:25–29, 2012

<sup>6</sup> Ovvero come un array di due elementi

<sup>7</sup> Ad esempio: ProtoBuf di Google o Apache Thrift

Questa scelta è stata dettata dal fatto di non voler aggiungere ulteriori dipendenze nel progetto, ma soprattutto dal fatto che la serializzazione/deserializzazione viene utilizzata una sola volta nell'intero sistema, ossia solo per inviare e ricevere i Links.

A questo scopo è stata definita la classe `ByteBuffer` nel namespace `fin::utils` della libreria `fin`. La classe rappresenta un contenitore di bytes<sup>8</sup> che permette di:

<sup>8</sup> Nello specifico `std::uint8_t`

- Aggiungere un dato arbitrario nel buffer stesso, attraverso il metodo:

```
template<typename T>
void add(const T &data)
```

- Rimuovere un dato dal buffer, con:

```
template<typename T>
void remove(T &data)
```

La classe `ByteBuffer` viene utilizzata all'interno della classe `Links` nei metodi `toByteBuffer()` e `fromByteBuffer(ByteBuffer &byteBuffer)`:

- Il primo si occupa di serializzare i Links in un `ByteBuffer`.
- Il secondo, una factory, deserializza i Links presenti nel `ByteBuffer`.

Ne segue che il dialogo tra client Wasm e `rest_server` avverrà come di seguito descritto:

1. Il client Wasm calcola i Links
2. Il client Wasm serializza i Links in un `ByteBuffer` richiamando `toByteBuffer()`
3. Il client Wasm estrae lo stream di byte dal `ByteBuffer`
4. Il client Wasm invia lo stream di byte al `rest_server`
5. Il `rest_server` riceve lo stream di byte
6. Il `rest_server` converte lo stream di byte in un `ByteBuffer`
7. Il `rest_server` deserializza i Links nel `ByteBuffer` Links richiamando `fromByteBuffer(ByteBuffer &byteBuffer)`

## 6

### L'eseguibile *mock\_client*

L'eseguibile *mock\_client* (figura 6.1) viene utilizzato esclusivamente nelle attività di test, il suo scopo è verificare il corretto funzionamento del sistema. È l'equivalente del Wasm client, ma:

- Dialoga direttamente col database senza passare per il rest-server.
- Non utilizza il microfono per registrare un segmento audio da identificare, bensì legge un file Wave.
- È un eseguibile *tradizionale* e non una RIA.

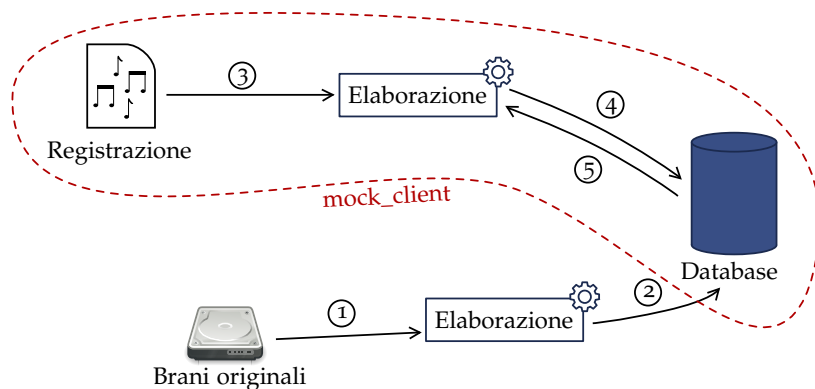


Figura 6.1: Schema architettura *mock\_client*

Mock\_client dipende da entrambe le librerie *fin* e *fin\_db*. Prende in input il percorso di un file Wav da identificare e:

1. Carica i sample del file Wav utilizzando la classe *WavReader*.
2. Calcola i Links a partire dai sample utilizzando la funzione `fin::computeLinks`.
3. Serializza i Links in un *ByteBuffer*<sup>1</sup>.
4. Deserializza i Links dal *ByteBuffer*.
5. Dati i Links cerca nel database un match facendo ricorso a `fin::searchFromLinks`.
6. Stampa a video il nome del brano identificato.

Eventualmente, se viene passato a riga di comando l'argomento `--to-json`, *mock\_client* stampa su stdout un oggetto JSON contenente i campi della struct *SearchResult*<sup>2</sup>.

<sup>1</sup> L'unico scopo di questo passaggio è verificare il corretto funzionamento della serializzazione/deserializzazione

<sup>2</sup> Per maggiori informazioni vedere il paragrafo 3.1





## 7

### L'eseguibile *wasm\_client*

Il compito principale dell'eseguibile *wasm\_client* è quello di acquisire un breve segmento audio attraverso il microfono del client, estrarne i Links e inviarli al *server\_rest* per avviare il processo di identificazione. Lo scope del client Wasm è quindi quello rappresentato in figura 7.1.

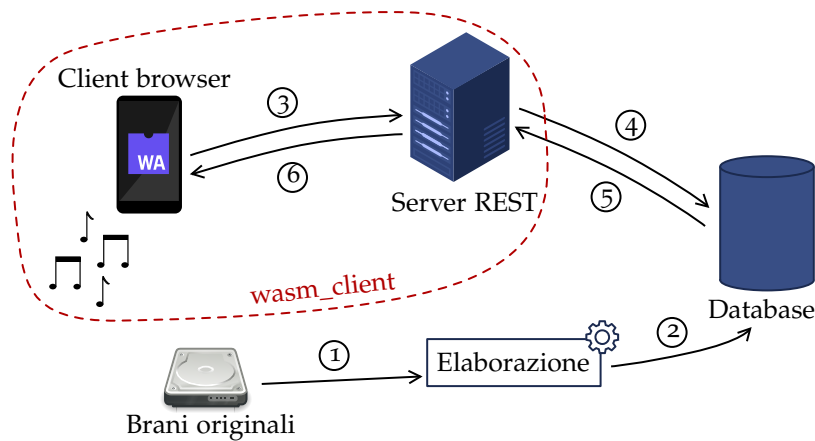


Figura 7.1: Schema architettura generale, dettaglio *wasm\_client*

#### 7.1 L'entry point

L'entry point del client Wasm è la funzione `main` che si occupa di:

1. Creare un `AudioContext`.
2. Istanziare il *render thread* nel quale verrà eseguito il codice dell'`AudioWorklet`<sup>1</sup>.

È stato infatti definito un `AudioWorklet`<sup>2</sup> per l'estrazione dei Links.

La creazione del *render thread* è, in realtà, un'operazione asincrona: una volta terminata viene richiamata la callback `audioWorkletProcessorCreated`.

<sup>1</sup> 1valdis Sheppy, chrisdavidmills. Audioworklet, 2021. URL <https://developer.mozilla.org/en-US/docs/Web/API/AudioWorklet>

<sup>2</sup> Nient'altro che un `AudioNode` custom

#### 7.2 La callback `audioWorkletProcessorCreated`

La callback `audioWorkletProcessorCreated` si occupa della creazione vera e propria dell'`AudioWorklet` per l'estrazione dei Links e della preparazione dell'interfaccia da esporre all'utente.

Il primo passo è la creazione dell'AudioWorklet configurato come segue:

- Un solo input
- Nessun output
- Una funzione per il processamento custom chiamata `processAudio`

A questo punto può essere creata la pagina HTML da mostrare all'utente.

Per prima cosa viene richiesto l'accesso al microfono dell'utente attraverso le API navigator JavaScript, richiedendo la disabilitazione dell'echoCancellation e del noiseSuppression, al fine di ottenere uno stream audio quanto più *raw* possibile. Inoltre è stato impostato il `channelCount` a 1 per avere uno stream mono<sup>3</sup>.

<sup>3</sup> Esistono microfoni stereo

Viene quindi configurato il routing dei nodi nell'AudioContext già creato come indicato in figura 7.2.



Figura 7.2: Routing AudioNodes

Infine viene aggiunto un bottone *Record* che innesci il processo di registrazione del segmento audio e la sua identificazione.

### 7.3 La funzione `processAudio`

Nello scope globale del client Wasm è stato dichiarato un `DummyReader`<sup>4</sup> che conterrà i vari campioni audio prodotti dal microfono.

<sup>4</sup> Vedere la sezione 2.1

La funzione `processAudio` è responsabile di leggere i campioni audio inviati all'AudioWorklet dal microfono e memorizzarli all'interno del `DummyReader`. Una volta che il `DummyReader` contiene abbastanza campioni, il processo di estrazione dei Links può essere avviato.

Si noti, però, che una volta estratti i Links questi dovranno essere inviati al server, il che presuppone il poter utilizzare l'API JavaScript `fetch`. Tuttavia non è possibile usare questa API all'interno del rendering thread dell'AudioWorklet: bisogna ritornare nel main thread JavaScript. A questo scopo viene richiamata la funzione:

```

void emscripten_audio_worklet_post_function_v(
    EMSCRIPTEN_WEBAUDIO_T id,
    void (*funcPtr)(void)
)
  
```

passando come primo parametro `EMSCRIPTEN_AUDIO_MAIN_THREAD` ad indicare di voler dialogare con il main thread e, come secondo parametro, `messageReceivedOnMainThread`, un puntatore a funzione di una callback che verrà eseguita nel main thread.

#### 7.4 *La callback messageReceivedOnMainThread*

Ritornati nel main thread JavaScript e con abbastanza campioni, si può avviare il processo di identificazione. Si procede come segue:

1. Vengono calcolati i Links dal DummyReader utilizzando la funzione `fin::computeLinks`.
2. I Links vengono serializzati in un ByteBuffer attraverso `toByteBuffer`.
3. Viene estratto lo stream di byte dal ByteBuffer.
4. Viene configurata la `fetch` per eseguire una POST verso il server REST che ha come body lo stream di byte.
5. Viene effettuata la `fetch`.
6. Se la `fetch` ha successo e la registrazione viene identificata allora viene mostrato il nome del brano, insieme ad alcune informazioni accessorie.

#### 7.5 *La durata del segmento audio*

Sorge spontanea una domanda: qual è la lunghezza minima del segmento audio da registrare per avere un buon recognition rate?

Similmente a quanto già fatto nel paragrafo 2.2.1, si è predisposto un altro *ambiente di test*, composto dai già citati brani, e per ognuno di essi:

1. È stato estratto un segmento con una durata compresa tra 0.5 e 6 secondi, con un passo di 0.5 secondi.
2. Ad ogni segmento è stato applicato del rumore, facendo variare l'SNR in un range tra  $-40dB$  e  $40dB$  a passo  $10^5$ .
3. Per ogni segmento è stato avviato il processo di identificazione<sup>6</sup>.

<sup>5</sup> Similmente a quanto fatto nel paragrafo 2.2.1

<sup>6</sup> Facendo ricorso a `mock_test`

Infine, è stato contato quante volte l'identificazione ha avuto successo, ottenendo il grafico in figura 7.3.

In altre parole, con 4 secondi si ottiene un recognition rate più che accettabile, vicino al 98%, se il rapporto segnale-rumore è superiore a  $10dB$ .

Per quanta riguarda il rate dei falsi positivi si rimanda alla figura 7.4: si può osservare che tale tasso non supera mai l'1%. Questo perché, in presenza di poche similarità<sup>7</sup> tra il segmento registrato e il brano originale, l'algoritmo evita di ritornare un risultato sicuramente errato.

<sup>7</sup> Vedi paragrafo 3.2

Tuttavia, è opportuno considerare, ancora una volta, che le condizioni di test potrebbero non corrispondere esattamente a quelle di un ambiente reale. Pertanto, per tenere conto dell'impossibilità di simulare perfettamente tale ambiente, sarebbe ragionevole scegliere una durata superiore ai 4 secondi.

Nel client Wasm viene utilizzata una durata pari a 5 secondi.

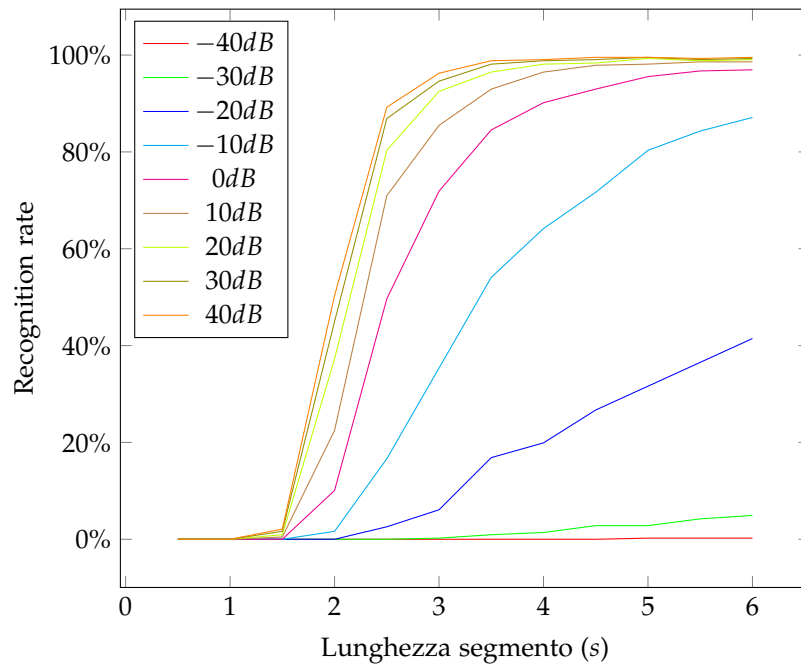


Figura 7.3: Recognition rate in funzione della lunghezza del segmento audio registrato

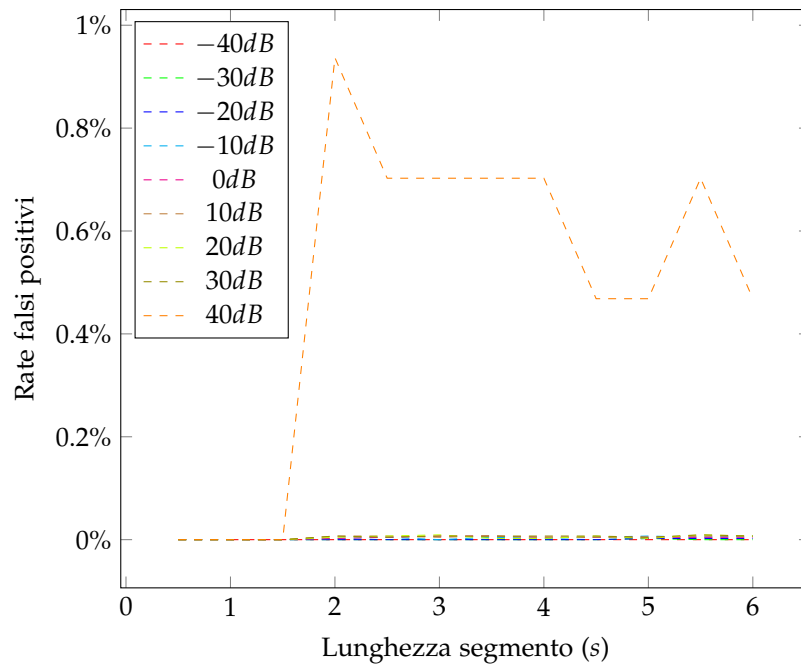


Figura 7.4: Rate falsi positivi in funzione della lunghezza del segmento audio registrato

## 7.6 Ulteriori problemi col CORS

Wasm utilizza l'oggetto `SharedArrayBuffer` per consentire una comunicazione efficiente tra thread e migliorare le prestazioni. `SharedArrayBuffer` è un tipo di buffer condiviso, utilizzato, ad esempio, per la comunicazione tra main thread e rendering thread, permettendo contemporaneamente a entrambi di accedere in modo sincronizzato ai dati in esso contenuti.

Tuttavia, `SharedArrayBuffer` può rappresentare anche una minaccia per la sicurezza se utilizzato in modo improprio<sup>8</sup>, poiché può essere utilizzato per attacchi di tipo side-channel tipo Spectre, che consentono a un sito web malintenzionato di accedere ai dati sensibili di altri siti web aperti contemporaneamente nella stessa finestra del browser. Per questo motivo, l'utilizzo di `SharedArrayBuffer` è subordinato all'implementazione di due policy di sicurezza sul server che ospita la RIA, anch'esse definite nel protocollo CORS: Cross-Origin-Embedder-Policy (COEP) e Cross-Origin-Opener-Policy (COOP).

In particolare, COEP con il valore *require-corp* specifica che l'origin dev'essere la stessa tra l'ambiente in cui è stato creato lo `SharedArrayBuffer` e l'ambiente in cui viene utilizzato.

Il server web che serve la RIA è stato, quindi, modificato di conseguenza.

<sup>8</sup> Eiji Kitamura. Making your website "cross-origin isolated" using coop and coep, 2020. URL <https://web.dev/coop-coep/>



## 8

### L'eseguibile lyrics

L'eseguibile *lyrics* ha un comportamento simile a *wasm\_client*<sup>1</sup>, ma, oltre al processo di identificazione del segmento audio, viene presentato sul client il testo del brano riconosciuto, sincronizzato in tempo reale.

Lo scope di *lyrics* è quello in figura 8.1.

<sup>1</sup> Vedi capitolo 7

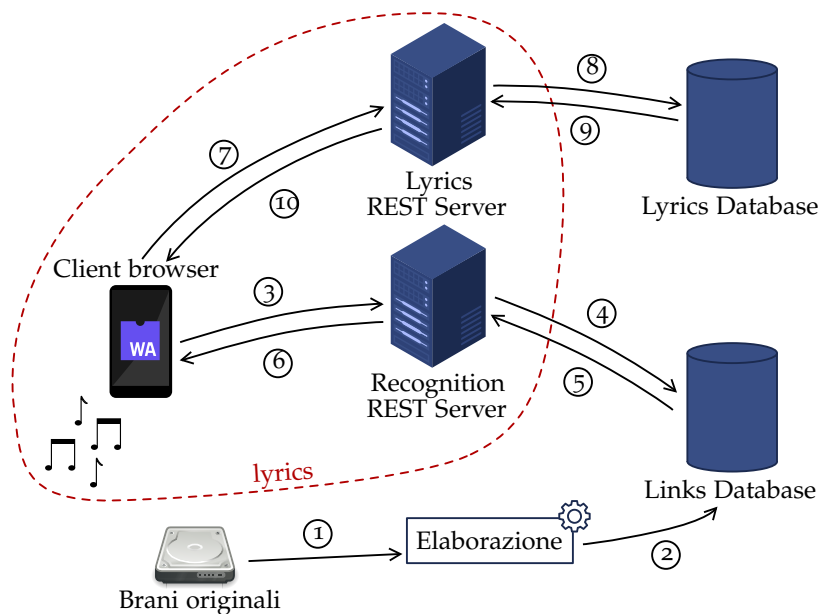


Figura 8.1: Schema architettura generale, dettaglio *lyrics*

Il processo dal punto ① al punto ⑥ è pressoché identico a quanto già presentato nel caso di *wasm\_client*.

Le uniche differenze introdotte sono dovute al fatto che è necessario sincronizzare il brano che l'utente sta ascoltando col relativo testo: verranno analizzate di seguito.

Lo scopo dell'eseguibile *lyrics* è, in ultima analisi, la realizzazione di una *second screen application*, per fornire un contenuto supplementare<sup>2</sup> ad un contenuto principale, ovvero un brano in riproduzione. In figura 8.2 un esempio di funzionamento.

<sup>2</sup> Il testo del brano

#### 8.1 Il server REST lyrics

Il server REST *lyrics* si occupa di fornire il testo di un determinato brano. Espone un unico endpoint: `/lyrics/{song_id}`, dove

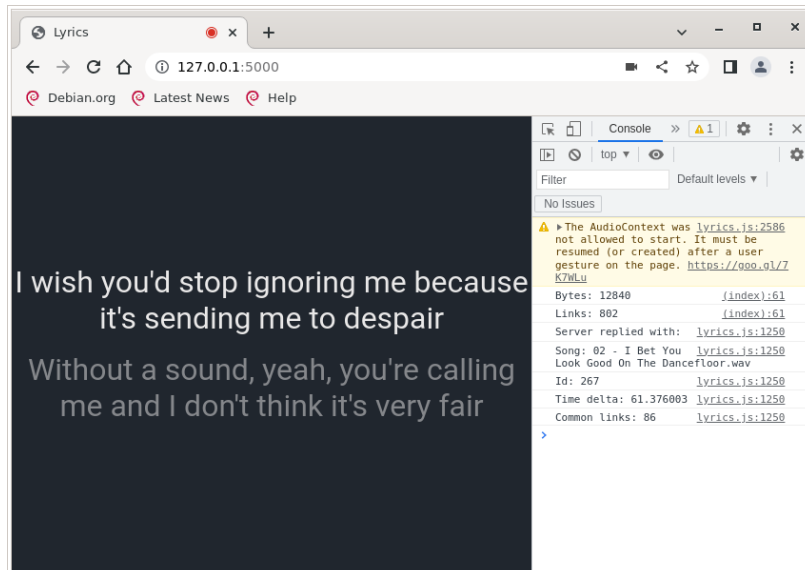


Figura 8.2: Screenshot funzionamento *lyrics*

`song_id` è l'id del brano del quale si vuole ottenere il testo.

La risposta ritornata è in formato JSON e segue uno schema come quello indicato di seguito:

```
{
  "song_id": song_id,
  "lyrics": [
    {
      "offset": 1.2,
      "text": "Line 1"
    }, {
      "offset": 2.2,
      "text": "Line 2"
    },
    ...
  ]
}
```

Dove `offset` indica l'offset temporale in secondi, rispetto all'inizio del brano originale, in cui viene cantato il testo `text`.

## 8.2 La funzione *processAudio*

La funzione `processAudio` è molto simile a quella già discussa per `wasm_client` nel paragrafo 7.3, le uniche differenze significative sono riportate di seguito:

- È stata introdotta una variabile globale `std::chrono::system_clock::time_point firstSampleTime`.
- La variabile `firstSampleTime` viene valorizzata quando vengono inseriti i primi campioni nel `DummyReader`.



In altre parole, `firstSampleTime` è un riferimento temporale a quando è stato acquisito il primo campione audio della registrazione da identificare.

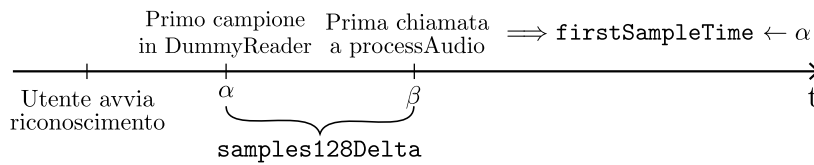


Figura 8.3: Timeline con dettaglio `firstSampleTime`

Con riferimento alla figura 8.3, `firstSampleTime` viene valorizzato come segue:

```
std::chrono::milliseconds samples128Delta(
    PROCESS_SAMPLES * 1000 / SAMPLE_RATE
);
firstSampleTime =
    std::chrono::system_clock::now() - samples128Delta;
```

È necessario, infatti, sottrarre `samples128Delta` in quanto all'assegnazione di `firstSampleTime` l'AudioWorklet ha già ricevuto 128 campioni.

### 8.3 La funzione `getElapsedTimeSinceFirstSample`

La funzione `getElapsedTimeSinceFirstSample` si occupa di calcolare quanti secondi sono passati da quando è stata valorizzata la variabile globale `firstSampleTime`.

È stato fatto in modo che questa funzione possa essere richiamata anche da JavaScript, sfruttando il meccanismo del *binding*:

```
EMSCRIPTEN_BINDINGS(my_module){
    emscripten::function(
        "getElapsedTimeSinceFirstSample",
        &getElapsedTimeSinceFirstSample
    );
}
```

In questo modo da JavaScript la funzione potrà essere richiamata con un semplice:

```
const elapsedTime =
    Module.getElapsedTimeSinceFirstSample();
```

#### 8.3.1 L'utilizzo del clock corretto

Nel contesto di calcolo della differenza temporale tra due istanti, normalmente, è essenziale fare affidamento su clock garantiti monotoni crescenti, come ad esempio `std::chrono::steady_clock` o `std::chrono::high_resolution_clock`. Tuttavia, occorre considerare che la variabile `firstSampleTime` viene inizializzata nel rendering thread dell'AudioWorklet, mentre la funzione

`getElapsedTimeSinceFirstSample` viene invocata nel main thread di JavaScript: in altre parole non è detto che il clock che valorizza `firstSampleTime` e quello utilizzato per calcolare la differenza temporale, utilizzino lo stesso riferimento temporale. La mancanza di sincronizzazione può portare, quindi, a risultati privi di significato nel richiamo di `getElapsedTimeSinceFirstSample`. Pertanto, risulta necessario utilizzare il `std::chrono::system_clock`, che seppur non monotono crescente, garantisce l'utilizzo dello stesso riferimento temporale per ogni sua istanza, ovvero i secondi passati dalla *UNIX epoch*.

#### 8.4 La callback `messageReceivedOnMainThread`

Inizialmente la callback `messageReceivedOnMainThread` si comporta esattamente come quella già presentata per `wasm_client` nel paragrafo 7.4. Tuttavia, dopo il processo di riconoscimento, oltre all'id `song_id` del brano riconosciuto, viene memorizzato anche l'offset temporale `time_delta` tra la registrazione e il brano originale<sup>3</sup>.

<sup>3</sup> Vedi paragrafo 3.2

A questo punto:

1. Viene reperito il testo del brano con id `song_id`, facendo una richiesta verso il server REST lyrics
2. Viene richiamata la funzione `getElapsedTimeSinceFirstSample`
3. Viene schedulata la visualizzazione del testo al tempo corretto (vedi figura 8.4): il `texti`, ovvero il testo i-esimo, dovrà essere visualizzato all'istante:

$$\alpha = \text{offset}_i - \text{elapsedTime} - \text{time\_delta}$$

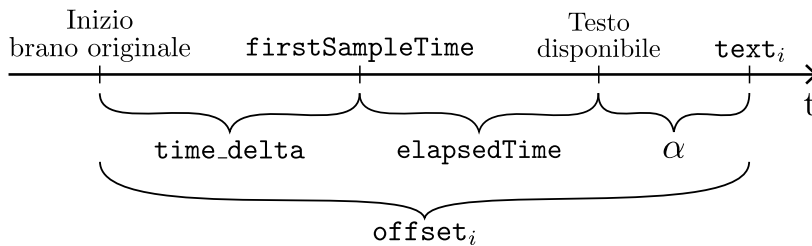


Figura 8.4: Timeline visualizzazione lyrics

La schedulazione avviene facendo ricorso alla funzione `setTimeout` di JavaScript.

## Confronto con OLAF

OLAF<sup>1,2</sup> è un'applicazione per l'identificazione audio, simile nello scopo, all'algoritmo già presentato in questo documento.

Il progetto è pensato principalmente per essere utilizzato su piattaforme embedded, ma può essere eseguito anche su computer tradizionali. È implementato in C e i suoi obiettivi sono quelli di essere efficiente, ma allo stesso tempo facilmente portabile su architetture diverse.

Nella tabella 9.1 sono elencate, a colpo d'occhio, alcune delle differenze tra l'algoritmo presentato in questo documento e OLAF: questi dati sono stati ottenuti analizzando il codice sorgente dell'applicazione e in particolare il file `olaf_config.c`.

	fin	OLAF
<i>Funzione finestra</i>	Hann	Hamming
<i>Dimensione finestra</i> (campioni)	512	1024
<i>Sample rate</i> (Hz)	8000	16000
<i>Step size finestra</i> (campioni)	256	128
<i>Overlap finestre</i>	50%	12.5%
<i>Frequenza minima</i> (Hz)	174	140
<i>Frequenza massima</i> (Hz)	3616	8000
<i>Distanza picco-anchor minima</i> (ms)	1000	16
<i>Distanza picco-anchor massima</i> (ms)	3000	264
<i>Numero minimo Link comuni per match</i>	15	6

<sup>1</sup> <https://github.com/JorenSix/Olaf>

<sup>2</sup> Joren Six. Olaf: a lightweight, portable audio search system. *Journal of Open Source Software*, 8(87):5459, 2023

Tabella 9.1: Principali differenze tra fin e OLAF

Vi sono anche alcune importanti differenze su cosa i due algoritmi considerano *picco*<sup>3</sup>.

Nel caso di OLAF un picco è definito tale se e solo se, nello spettro, è un punto di massimo locale nell'intorno di:

1. 1.6KHz sull'asse delle frequenze
2. 200ms sull'asse dei tempi

Inoltre, il numero di picchi per finestra viene limitato a 60.

Nel caso di fin, invece, la definizione di picco è più *fine*. L'algoritmo è già stato trattato nei paragrafi 2.3 e 2.4, ma qui di seguito viene riportato un breve recap: occorre discriminare tra picco *candidato* e picco *effettivo*.

<sup>3</sup> Vedi paragrafo 2.4

Un picco è considerato *candidato* se e solo se è un punto di massimo locale nell'intorno di  $78\text{Hz}$  sull'asse delle frequenze.

A questo punto viene effettuato un ulteriore passaggio: i picchi candidati vengono raccolti per ogni banda critica e a passo di  $500\text{ms}$  ( $C = 32$ ); solo i 3 picchi candidati ad intensità maggiore diventano picchi *effettivi*.

Inoltre, nella creazione dei Link, i picchi che lo compongono devono far parte obbligatoriamente della stessa banda critica, cosa che non avviene nel caso di OLAF.

Si è quindi proceduto per valutare la bontà dei due algoritmi, adottando un approccio simile a quanto già descritto nel paragrafo 7.5. È stato predisposto un altro *ambiente di test*, composto dai già citati brani e per ognuno di questi brani:

1. È stato estratto un segmento con una durata compresa tra 0.5 e 6 secondi, con un passo di 0.5 secondi.
2. Ad ogni segmento è stato applicato del rumore, facendo variare l'SNR in un range tra  $-40\text{dB}$  e  $40\text{dB}$  a passo 10.
3. Per ogni segmento è stato avviato il processo di identificazione utilizzando sia fin che OLAF.

Nelle figure 9.1, 9.2, 9.3 e 9.4 viene riportato il rate delle identificazioni corrette, mettendo a confronto i due algoritmi. È stato escluso il grafico nel caso  $\text{SNR} = -40\text{dB}$  in quanto entrambi gli algoritmi presentavano un true positive rate pressoché nullo.

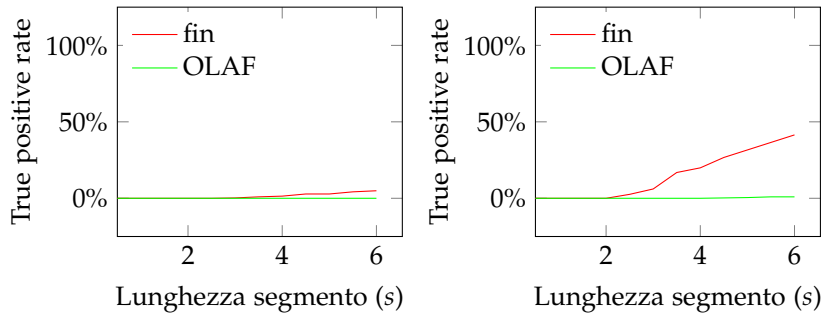


Figura 9.1: Rate positivi con  $\text{SNR} = -30\text{dB}$  e  $\text{SNR} = -20\text{dB}$

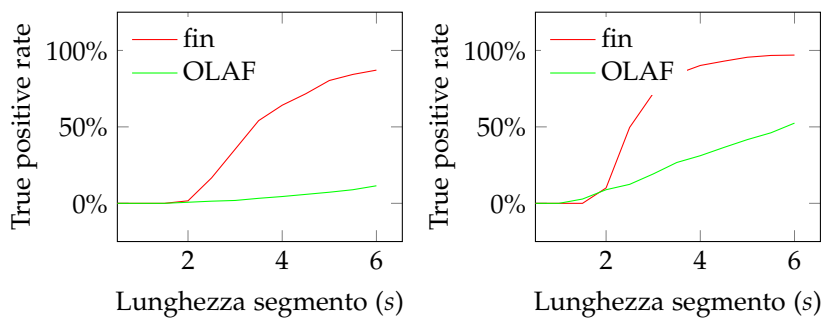


Figura 9.2: Rate positivi con  $\text{SNR} = -10\text{dB}$  e  $\text{SNR} = 0\text{dB}$

Dai grafici si possono estrarre le seguenti informazioni:

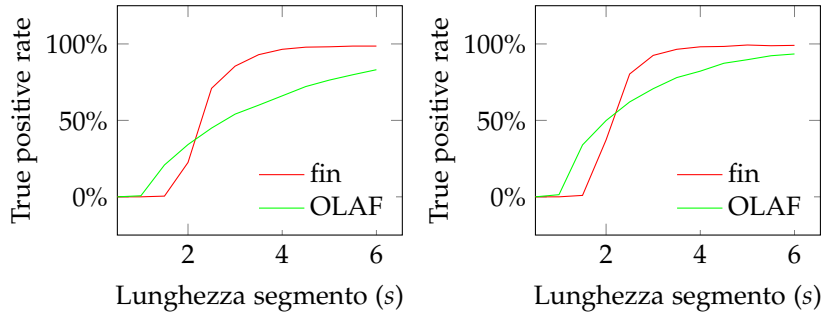


Figura 9.3: Rate positivi con  $SNR = 10dB$  e  $SNR = 20dB$

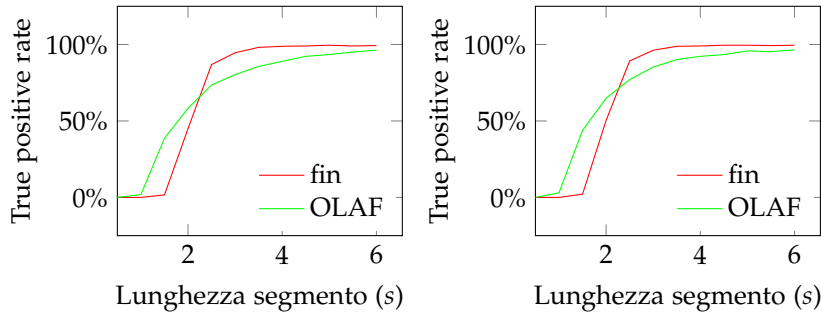


Figura 9.4: Rate positivi con  $SNR = 30dB$  e  $SNR = 40dB$

- Per un SNR compreso tra  $-20dB$  e  $0dB$  è evidente la superiorità di fin, che presenta un rate di riconoscimento quasi doppio per segmenti audio sufficientemente lunghi.
- Per un SNR compreso tra  $10dB$  e  $40dB$ :
  - per segmenti di durata superiore a circa 2s fin ottiene i risultati migliori.
  - per segmenti di durata inferiore a circa 2s OLAF ha un rate di riconoscimento più elevato.
- Il rate di riconoscimento di fin tende al 100% più velocemente di quello di OLAF.

Questi comportamenti sono giustificati dall'implementazione delle due soluzioni.

Fin ha un algoritmo per la scelta dei picchi più rifinito, in cui viene sfruttato il concetto di banda critica. Questo gli permette di essere più immune al rumore.

Dall'altro lato OLAF performa meglio quando il rumore è relativamente contenuto ed è superiore a fin per segmenti di durata inferiore a 2s. Questo è dovuto al metodo con il quale vengono costruiti i Link in fin: la distanza tra anchor point e picco dev'essere di almeno 1s, mentre in OLAF tale distanza è pari a  $16ms^4$ . Si noti, infatti, come nei grafici per  $SNR \geq 10dB$  la curva di fin cambia repentinamente pendenza nell'intorno di 1s. In altre parole: i Link iniziano ad essere creati per segmenti audio di lunghezza superiore a 1s nel caso di fin, di  $16ms$  nel caso di OLAF. In futuro si potrebbe pensare di modificare questi parametri, per migliorare, potenzialmente, le performance di fin nel caso di segmenti audio più brevi.

<sup>4</sup> Vedi tabella 9.1



## 10

### Utilizzi futuri

Di seguito ci si focalizzerà sui possibili utilizzi futuri del sistema descritto nei capitoli precedenti.

Nello specifico è importante notare come l'algoritmo del fingerprinting possa essere usato anche in ambiti diversi rispetto a quello del riconoscimento musicale, quali la sincronizzazione di più stream multimediali e il riconoscimento di particolari segnali audio che indicano l'accadere di un determinato evento.

#### 10.1 Sincronizzazione di contenuti provenienti da sorgenti differenti

Uno scenario tipico nella post-produzione di materiale audiovisivo è la sincronizzazione di stream multimediali provenienti da più fonti.

Si pensi ad uno scenario come quello in figura 10.1:

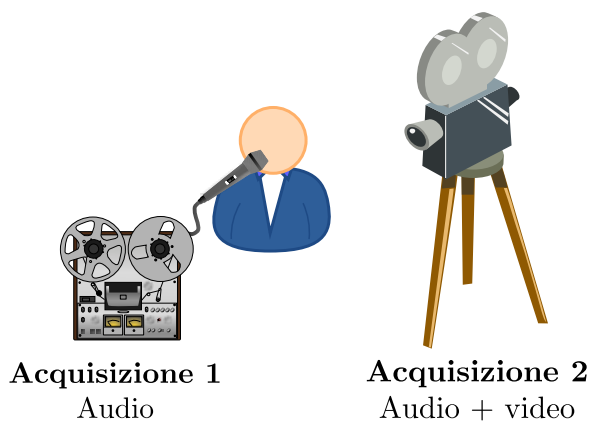


Figura 10.1: Scenario acquisizioni multiple

1. Una videocamera acquisisce un contenuto audio e video, l'audio viene registrato attraverso il microfono interno della videocamera.
2. Un registratore audio acquisisce attraverso un microfono (per esempio un lavalier) l'audio di un operatore.

In situazioni di questo tipo è quindi necessario sincronizzare l'audio *ambientale* registrato dalla videocamera con quello proveniente dal registratore esterno.

Tipicamente si fa ricorso ad un sistema basato su timecode. Il timecode fornisce un riferimento comune di tempo che consente di coordinare con precisione più fonti multimediali, facilitando il montaggio e la post-produzione. Tuttavia, l'impiego del timecode richiede attrezzature specifiche, potenzialmente aumentando i costi e la complessità del processo di produzione. Inoltre, in caso di errori o discrepanze nella generazione o nella lettura del timecode, potrebbero verificarsi problemi di sincronizzazione che richiedono ulteriori sforzi di correzione.

Un'alternativa, soprattutto in ambienti meno *professionali*, potrebbe essere quella di utilizzare un sistema basato sull'algoritmo descritto precedentemente. Si faccia riferimento alla figura 10.2:

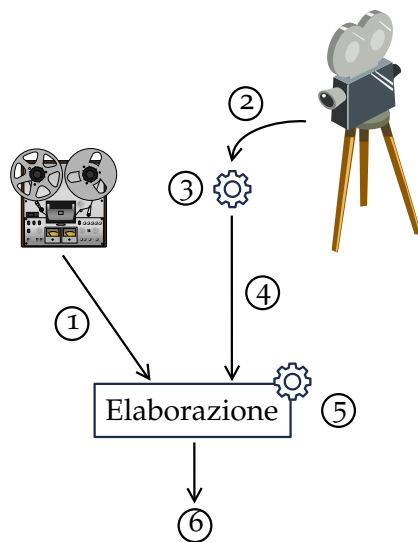


Figura 10.2: Sincronizzazione acquisizioni multiple

1. L'acquisizione audio è disponibile.
2. L'acquisizione audio/video è disponibile.
3. L'audio viene estratto dall'acquisizione<sup>1</sup>.
4. L'acquisizione audio estratta è disponibile.
5. Viene avviato l'algoritmo per identificare l'*offset temporale* tra le due acquisizioni.
6. L'*offset temporale* viene visualizzato all'utente.

A questo punto, l'operatore di post-produzione può sincronizzare le due acquisizioni, evitando di utilizzare sistemi basati su timecode.

Si potrebbe pensare, inoltre, facendo riferimento alla figura 1.1, di adottare un'architettura semplificata del sistema:

<sup>1</sup> La sincronizzazione avviene sul segnale audio e non sui fotogrammi



- Il client, il server REST, il database e i segnali audio da analizzare risiederebbero tutti sulla stessa macchina.
- Sebbene si continuerà ad utilizzare un database per le operazioni di memorizzazione dei Links<sup>2</sup>, si potrebbe utilizzare un DBMS più lightweight come SQLite.
- Il database dei Links andrebbe creato e distrutto ad ogni esecuzione dell'algoritmo.

<sup>2</sup> Vedi paragrafo 2.4

## 10.2 Personalizzazione dei segmenti pubblicitari

La personalizzazione della pubblicità per gli utenti rappresenta un'importante strategia di marketing che mira a fornire annunci pubblicitari mirati e rilevanti basati sui dati personali e comportamentali degli individui. Questo approccio si basa sull'idea di offrire agli utenti contenuti promozionali che siano maggiormente allineati ai loro interessi, preferenze e comportamenti di consumo.

Come afferma Kotler<sup>3</sup>, il micromarketing consiste nel suddividere un mercato in segmenti specifici di clienti, che possono essere raggiunti in modo più mirato con prodotti, prezzi, messaggi e canali specifici. La personalizzazione della pubblicità si basa proprio su questo concetto, adattando l'approccio promozionale per soddisfare le esigenze specifiche di ciascun individuo o segmento di utenti.

<sup>3</sup> Philip Kotler. From mass marketing to mass customization. *Planning review*, 17(5):10-47, 1989

La personalizzazione della pubblicità offre diversi vantaggi sia per gli utenti che per gli inserzionisti:

- Gli utenti possono ricevere annunci pubblicitari che rispecchiano i loro interessi, fornendo loro informazioni pertinenti e promozioni su prodotti e servizi che potrebbero effettivamente interessarli. Ciò può migliorare l'esperienza dell'utente, rendendo la pubblicità meno invasiva e più rilevante.
- D'altra parte, gli inserzionisti possono beneficiare della personalizzazione della pubblicità in quanto possono raggiungere un pubblico più specifico e qualificato. La capacità di selezionare gli utenti in base alle loro caratteristiche e preferenze consente di ottimizzare la spesa pubblicitaria e migliorare l'efficacia delle campagne promozionali.

Una strada innovativa potrebbe consistere nella personalizzazione dei segmenti pubblicitari inseriti all'interno di uno stream audio.

Diverse pubblicazioni hanno esplorato l'audio fingerprinting per la sincronizzazione e la sostituzione dei contenuti audio<sup>4,5</sup>.

Il sistema di fingerprinting e riconoscimento, discusso in questo documento, presenta un ottimo candidato per l'implementazione di un sistema simile.

Prendendo come riferimento la figura 10.3, si potrebbe realizzare un sistema di personalizzazione di un segmento audio pubblicitario come segue:

<sup>4</sup> Paolo Casagrande, Maria Luisa Sapino, K Selcuk Candan, et al. Leveraging audio fingerprinting for audio content synchronization and replacement. In *Media Synchronization Workshop (MediaSync) 2015*, pages 1-8, 2015

<sup>5</sup> Theodoros Bozios, Georgios Lekakos, Victoria Skoularidou, and Kostas Chorianopoulos. Advanced techniques for personalized advertising in a digital tv environment: the imedia system. In *Proceedings of the eBusiness and eWork Conference*, pages 1025-1031, 2001

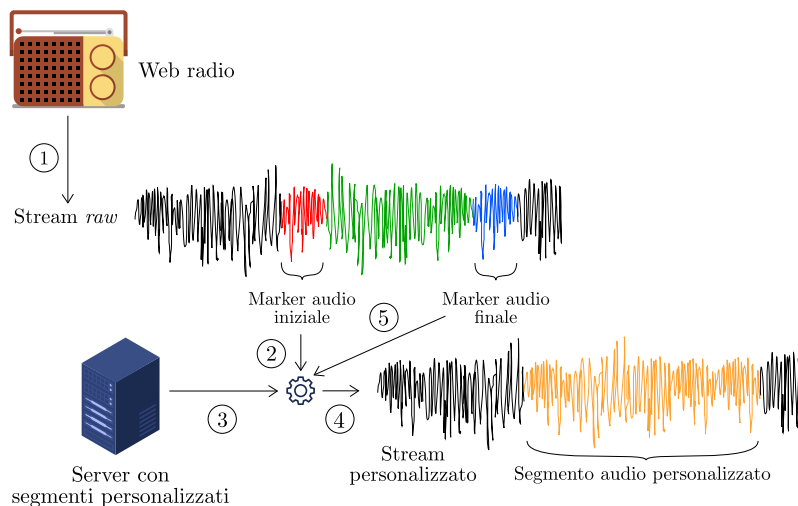


Figura 10.3: Scenario segmento audio pubblicitario personalizzato

1. Uno stream audio *raw*<sup>6</sup> proveniente da una web radio viene scaricato in modo continuo da un client.
2. Lo stream audio contiene un **marker audio iniziale**, ovvero un suono *specifico* che indica che sta per iniziare un segmento pubblicitario
  - (a) subito dopo il marker iniziale viene inserito un segmento pubblicitario standard, ovvero non personalizzato.
  - (b) d'altro canto, un client *intelligente* può rilevare il marker iniziale: verrà analizzato questo scenario.
3. Viene reperito un segmento pubblicitario personalizzato sulla base dell'ascoltatore da una sorgente terza.
4. Il segmento pubblicitario personalizzato viene inserito all'interno dello stream finale che l'utente ascolta.
5. Viene inserito un **marker audio finale** che indica che il segmento pubblicitario è terminato.
  - (a) il segmento pubblicitario personalizzato dovrebbe essere già stato scelto opportunamente, in modo tale che la durata sia compatibile con quella del segmento pubblicitario non personalizzato.
  - (b) se così non fosse, si ritorna comunque allo stream *raw* quando viene ricevuto il marker finale.

<sup>6</sup> Grezzo, non elaborato

Si noti che:

- Questa soluzione è trasparente per il client non intelligente, ovvero non impatta su di esso, dato che fruisce lo stream *raw*, così come ha sempre fatto.
- Il marker audio finale non è strettamente necessario, si potrebbe utilizzare un marker audio iniziale diverso a seconda del tempo a disposizione per il segmento pubblicitario.

- Il client dovrà avere un piccolo buffer, atto ad analizzare lo stream per individuare l'eventuale marker iniziale prima del playback.
- Potrebbe essere conveniente portare il database dei Links che caratterizzano i marker iniziali in locale sul client, in modo tale che il processo di identificazione sia più reattivo.



## Conclusioni

Il sistema proposto in questa tesi è nato come un progetto personale, intrigato dalla voglia di avere una migliore comprensione delle tecnologie impiegate nel riconoscimento audio, interrogandomi sul come fosse possibile realizzare un sistema di tale portata.

Dopo aver verificato l'efficacia dell'algoritmo di riconoscimento, è emersa la volontà di esplorare nuove prospettive, in collaborazione con il relatore, che hanno condotto a sondare scenari innovativi, primo fra tutti l'esecuzione dell'algoritmo all'interno del browser.

In seguito, sono state affrontate sfide molto stimolanti, come l'integrazione di elementi aggiuntivi al semplice matching audio, come l'implementazione di un'applicazione per la visualizzazione in sincronia del testo dei brani musicali, presentando qualcosa di nuovo e ancora poco praticato.

Tuttavia, il momento più appagante è stato la conclusione del progetto, momento in cui si è avuta la realizzazione di un sistema completamente funzionante, il quale, sebbene rimanga un prototipo, è un gradino sopra la mera realizzazione *accademica* di una semplice libreria che ruota intorno all'implementazione di un algoritmo.

È importante sottolineare che il percorso di ricerca non si conclude con questa tesi. A riprova di ciò, sono già state presentate ulteriori interessanti applicazioni che, con un adeguato sviluppo, potrebbero aprire nuovi orizzonti in questo campo. Non si esclude anche la possibilità di scoprire nuove e inaspettate applicazioni non trattate in questo documento.

Inoltre, l'informatica è un settore in continua evoluzione, nulla va considerato *impensabile*: fino a poco tempo fa sembrava impossibile eseguire del codice C++ all'interno di un browser, eppure oggi WebAssembly è un elemento fondamentale del nuovo Internet. Considerando l'incessante progresso tecnologico, probabilmente, non si possono nemmeno immaginare le possibilità che il futuro riserba.



## Ringraziamenti

Desidero esprimere la più profonda gratitudine a tutte le persone che mi hanno sostenuto durante il mio percorso universitario e durante la realizzazione di questa tesi (ciascuno, senza eccezione, in ordine alfabetico).

Prima di tutto, vorrei ringraziare i miei genitori Daniela e Gianni, per il loro amore, il loro costante sostegno e l'incoraggiamento che mi hanno donato lungo tutto il cammino accademico. Senza di loro non avrei fatto nemmeno i test d'ingresso.

A mia madre, mia confidente e sostegno incondizionato lungo il mio percorso. Tu hai creduto in me anche quando io stesso avevo dubbi. Sei stata al mio fianco in ogni momento, ascoltando le mie gioie e le mie preoccupazioni, incoraggiandomi a superare ogni ostacolo.

A mio padre, che ha saputo trasmettermi la passione per l'informatica sin da quando ero bambino. Grazie per avermi fornito gli strumenti necessari per esplorare questo mondo, fin da quando mi insegnasti a scrivere su Word da piccolo. Se oggi posso dedicarmi a ciò che amo, è anche grazie a te.

Un ringraziamento speciale va al mio relatore, il professor Antonio Servetti, per la sua guida, il suo prezioso supporto, la sua fiducia in me e il tempo dedicatomi. La sua esperienza e il suo entusiasmo hanno reso questo percorso di ricerca ancora più stimolante e gratificante.

Voglio inoltre ringraziare i miei amici, i *cocky*, che sono stati al mio fianco durante gli alti e i bassi di questi anni. Le nostre chiacchierate, i *concili* e il vostro sostegno hanno reso il mio percorso molto più leggero.

A Lorenzo (*Arabella*), vorrei esprimere la mia gratitudine per la tua costante presenza, il tuo appoggio e l'avermi fatto riappassionare alla musica. Hai sempre creduto in me e hai condiviso le mie gioie e le mie sfide. La tua amicizia è un vero tesoro.

A Emmanuel, desidero ringraziarti per le nostre conversazioni fino alle 3 di notte, le risate, i consigli, i piani diabolici e l'energia positiva. Hai reso i momenti di studio e di svago ancora più significativi con la tua presenza. Si sente quando non ci sei.

A Andrea (*Felipe*), desidero ringraziarti per i tuoi consigli da buon (*vero*) informatico. Sono felice di aver condiviso con te questa passione per l'informatica in questi anni e sono sicuro che, prima o poi, faremo un progetto insieme, ormai è deciso.

Infine, a Gloria, ci conosciamo da meno di un anno, ma è come se ti conoscessi da una vita. Voglio ringraziarti per le risate che abbiamo condiviso e i momenti che hai catturato, custodirò ogni ricordo gelosamente (in particolar modo quello della bicicletta).

Non potrei essere più grato per avere amici così straordinari accanto a me. Grazie di cuore per tutto il vostro supporto e amicizia.

Infine, desidero ringraziare tutti coloro che, in modo diretto o indiretto, hanno contribuito alla realizzazione di questa tesi. Il loro supporto, le loro risorse e il loro apporto hanno arricchito il mio lavoro e reso possibile la sua conclusione con successo.

A tutte queste persone, che hanno condiviso con me gioie e sfide in questa avventura accademica, voglio dedicare il mio più sincero apprezzamento e riconoscimento. Senza il vostro aiuto e il vostro incoraggiamento, questa tesi non sarebbe stata una realtà.

Grazie di cuore a tutti voi.



## Bibliografia

Sabah A Abdulkareem and Ali J Abboud. Evaluating python, c++, javascript and java programming languages based on software complexity calculator (halstead metrics). In *IOP Conference Series: Materials Science and Engineering*, volume 1076. IOP Publishing, 2021.

Theodoros Bozios, Georgios Lekakos, Victoria Skoularidou, and Kostas Chorianopoulos. Advanced techniques for personalized advertising in a digital tv environment: the imedia system. In *Proceedings of the eBusiness and eWork Conference*, pages 1025–1031, 2001.

William L Briggs and Van Emden Henson. *The DFT: an owner's manual for the discrete Fourier transform*. SIAM, 1995.

Paolo Casagrande, Maria Luisa Sapino, K Selcuk Candan, et al. Leveraging audio fingerprinting for audio content synchronization and replacement. In *Media Synchronization Workshop (MediaSync) 2015*, pages 1–8, 2015.

Jianjun Chen, Jian Jiang, Hai-Xin Duan, Tao Wan, Shuo Chen, Vern Paxson, and Min Yang. We still don't have secure cross-domain requests: an empirical study of cors. In *USENIX Security Symposium*, pages 1079–1093, 2018.

Hongchan Choi. Audioworklet: the future of web audio. In *ICMC*, 2018.

Piero Fraternali, Gustavo Rossi, and Fernando Sánchez-Figueroa. Rich internet applications. *IEEE Internet Computing*, 14(3):9–12, 2010.

Matteo Frigo and Steven G Johnson. The design and implementation of fftw3. *Proceedings of the IEEE*, 93(2):216–231, 2005.

Andreas Haas, Andreas Rossberg, Derek L Schuff, Ben L Titzer, Michael Holman, Dan Gohman, Luke Wagner, Alon Zakai, and JF Bastien. Bringing the web up to speed with webassembly. In *Proceedings of the 38th ACM SIGPLAN Conference on Programming Language Design and Implementation*, pages 185–200, 2017.

- Michael E Holmes, Sheree Josephson, and Ryan E Carney. Visual attention to television programs with a second-screen application. In *Proceedings of the symposium on eye tracking research and applications*, pages 397–400, 2012.
- Pankaj Kamthan. Java applets in education. *Electronic Resource* Retrieved on May, 17, 1999.
- Eiji Kitamura. Making your website "cross-origin isolated" using coop and coep, 2020. URL <https://web.dev/coop-coep/>.
- Philip Kotler. From mass marketing to mass customization. *Planning review*, 17(5):10–47, 1989.
- Dan Maharry. *TypeScript revealed*. Apress, 2013.
- Thiago Nicolini, Andre Hora, and Eduardo Figueiredo. On the usage of new javascript features through transpilers: The babel case. *IEEE Software*, pages 1–3, 2023.
- Xiaolong Pan, Weiming Wu, and Yonghao Gu. Study and optimization based on mysql storage engine. In *Advances in Multimedia, Software Engineering and Computing Vol. 2: Proceedings of the 2011 MSEC International Conference on Multimedia, Software Engineering and Computing, November 26–27, Wuhan, China*, pages 185–189. Springer, 2012.
- Paul Pedersen. The mel scale. *Journal of Music Theory*, 9(2):295–308, 1965.
- Prajoy Podder, Tanvir Zaman Khan, Mamdudul Haque Khan, and M Muktadir Rahman. Comparative performance analysis of hamming, hanning and blackman window. *International Journal of Computer Applications*, 96(18):1–7, 2014.
- Guillermo Rauch. *Smashing node.js: Javascript everywhere*. John Wiley & Sons, 2012.
- Adam D Scott. *JavaScript everywhere: building cross-platform applications with GraphQL, React, React Native, and Electron*. O'Reilly Media, 2020.
- Charles Severance. Javascript: Designing a language in 10 days. *Computer*, 45(2):7–8, 2012.
- 1valdis Sheppy, chrisdavidmills. Audioworklet, 2021. URL <https://developer.mozilla.org/en-US/docs/Web/API/AudioWorklet>.
- Joren Six. Olaf: a lightweight, portable audio search system. *Journal of Open Source Software*, 8(87):5459, 2023.
- CJ Tauro, N Ganesan, SR Mishra, and Anupama Bhagwat. Object serialization: A study of techniques of implementing binary serialization in c++, java & .net. *Intl J of Computer Applications*, 45: 25–29, 2012.

MW Trethewey. Window and overlap processing effects on power estimates from spectra. *Mechanical Systems and Signal Processing*, 14(2):267–278, 2000.